

ΜΕΤΡΗΣΙΣ ΚΑΙ ΑΞΙΟΛΟΓΗΣΙΣ ΔΙΑΚΛΑΣΕΩΝ ΕΙΣ ΤΗΝ ΥΠΑΙΘΡΟΝ ΜΕ ΤΗΝ ΒΟΗΘΕΙΑΝ ΕΝΟΣ ΘΕΟΔΟΛΙΧΟΥ*

Υ Π Ο

ΣΤΑΥΡΟΥ Γ. ΑΡΤΟΠΟΥΛΟΥ**

Περίληψις.— Εἰς τὴν παροῦσαν ἐργασίαν ἐκτίθεται μία νέα μέθοδος ἡ ὁποία, μετὰ τὴν βοήθειαν ἐνὸς Θεοδολίχου ἐπιτρέπει ὅπως, γεωτεχνικῶς σημαντικαὶ παράμετροι διακλάσεων καὶ ἄλλων διατμητικῶν ἐπιφανειῶν τῶν πετρωμάτων ὡς διεύθυνσις, κλίσις, διεύθυνσις κλίσεως, μέγεθος (ἐμβαδόν), μετρηθοῦν καὶ ἀξιολογηθοῦν ποσοτικῶς, ἀπ' εὐθείας εἰς τὴν ὑπαιθρον μετὰ μόνην παρεμβολὴν ἐνὸς ἠλεκτρονικοῦ ὑπολογιστοῦ, ἀκόμη καὶ εἰς τοποθεσίας μὴ προσιτὰς εἰς τὴν διὰ γεωλογικῆς πυξίδος μέτρησιν.

Διὰ τῆς ὡς ἄνω ἀπλῆς μεθόδου, ἀποφεύγεται ἐπίσης ἡ χρησιμοποίησις πολυπλόκων καὶ δαπανηρῶν φωτογραμμετρικῶν μεθόδων. Ὅπως ἔδειξεν ἡ ἐπαλήθευσις τῆς μεθόδου εἰς τὴν πράξιν, ἡ ἀκρίβεια εἶναι ἄκρως ἱκανοποιητικὴ, τὰ δὲ ἀποτελέσματα ἀξιόπιστα.

* Αναφέρονται ἐπίσης περαιτέρω δυνατότητες ἐφαρμογῆς τῆς μεθόδου ταύτης.

Zusammenfassung.— Es wird die Arbeitsweise einer neuen Aufnahmemethode im Gelände beschrieben, welche mit Hilfe eines Tachymeters ermöglicht, geotechnisch wichtige Klufflächenkennwerte wie Raumstellung und Grösse der Flächen quantitativ durch den Einsatz eines Rechenprogrammes zu erfassen, ohne auf die Hilfe komplizierter Photogrammetrischer Verfahren und Ausrüstungen angewiesen zu sein.

Wie die Prüfung der Präzision und der Genauigkeit der Methode in der Praxis zeigt, sind die erhaltenen Ergebnisse sicher und zuverlässig.

Möglichkeiten für weitere Aussagen bei der Anwendung der Tachymeteraufnahme sind angegeben.

1. ΕΙΣΑΓΩΓΗ

Ἡ σημασία τῶν διακλάσεων, ὡς διατμητικῶν ἐπιφανειῶν τῶν βραχωδῶν μαζῶν, λόγῳ τῆς ἐπιδράσεώς των ἐπὶ τῆς ἀντοχῆς τῶν τεχνικῶν κατασκευῶν, ὡς καὶ τοῦ συντελεστοῦ ἀσφαλείας τούτων εἶναι εἰς γενικὰς γραμμάς γνωστή. Ὁ βαθμὸς οὗτος τῆς ἐπιδράσεως τῶν διακλάσεων ἐξάγεται κατὰ τὸ μεγαλύτερον μέρος τοῦ ἀπὸ τὴν ὄσον τὸ δυνατόν πληρεστέραν συλλογὴν στοιχείων ἀφορώντων

* ST. ARTOPOULOS.— Zur Erfassung von Gesteinstrennflächen im Gelände mit Hilfe eines Reduktions-Tachymeters.

** Institut für Geologie (Geotechnik). Ruhr Universität, 463 Bochum, Postfach 2148, Deutschland.

τήν θέσιν και ἐξάπλωσιν τῶν διακλάσεων εἰς τὰς βραχῶδεις μάζας τῆς μελετωμένης περιοχῆς.

Ἡ μέθοδος διὰ τὴν συλλογὴν τῶν στοιχείων τούτων πρέπει νὰ ἐπιτρέπη ἄμεσα και ἀπρόσκοπτα τὴν ἐξαγωγήν ποσοτικῶν ἀριθμητικῶν τιμῶν, ἀφορώντων τὴν θέσιν και ἐξάπλωσιν τῶν διατμητικῶν τούτων ἐπιφανειῶν τῶν βραχωδῶν μαζῶν, αἱ ὁποῖαι πολλὰς φορὰς μειώνουν εἰς τὸ ἐλάχιστον τὴν ἀντοχὴν τῶν πετρωμάτων, εἰς τρόπον ὥστε οἱ κατασκευασταὶ μηχανικοὶ νὰ δύνανται νὰ χρησιμοποιοῦσιν τὰ στοιχεῖα ταῦτα ἀπ' εὐθείας εἰς τοὺς ὑπολογισμοὺς των.

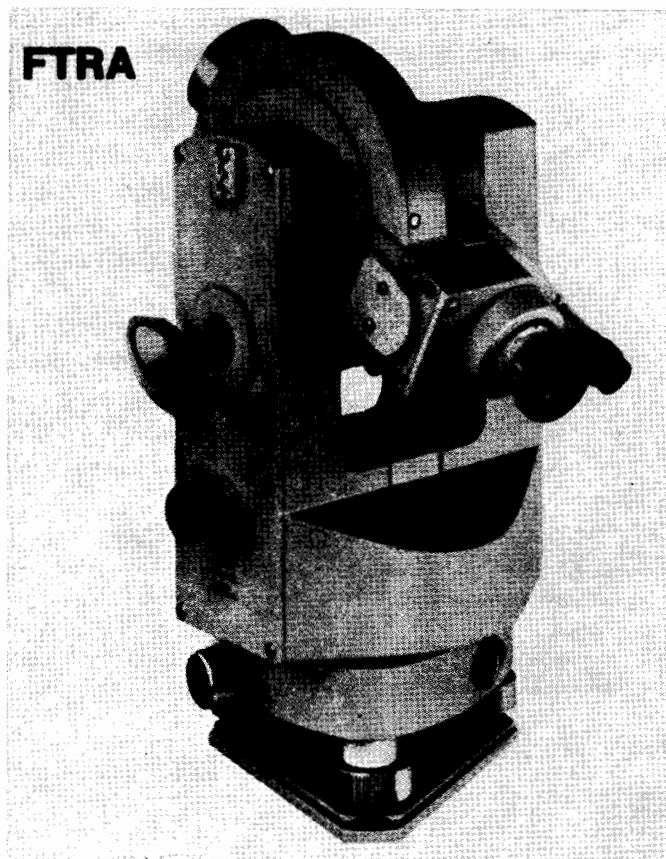
Αἱ μέχρι τοῦδε ὑφιστάμεναι μέθοδοι πρὸς τὸν σκοπὸν αὐτὸν βασιζονται εἰς γραφικὰς, γραφικὰς - ἀριθμητικὰς και φωτογραμμετρικὰς, ἀριθμητικὰς - φωτογραμμετρικὰς μεθόδους. Ἡ χρῆσις τῶν τελευταίων εἰς τὴν πράξιν προϋποθέτει μίαν ἐξειδίκευσιν εἰς τὴν τεχνικὴν τῆς ὑπαιθροῦ Φωτογραμμετρίας (Terrestrial Photogrammetry). Περισσότερας λεπτομερείας ἀφορώσας τὰς μεθόδους αὐτάς, δύνανται νὰ εὔρη ὁ ἀναγνώστης εἰς τὴν Βιβλιογραφίαν ἢ ὁποία παρατίθεται εἰς τὸ τέλος τῆς παρούσης ἐργασίας (1, 2, 4, 7, 8, 9).

Εἰς τὸ σχετικῆς σημασίας πλεονέκτημα τῶν μεθόδων τούτων, ὅσον ἀφορᾷ τὸν περιορισμὸν τῆς ἐργασίας εἰς τὴν ὑπαιθρον, ἀντιτάσσονται πολλὰ μειονεκτήματα τὰ ὁποῖα προκύπτουν κατὰ τὴν ἀξιολόγησιν τῶν στερεοφωτογραφιῶν.

- α. Ὁ ἀπαιτούμενος χρόνος διὰ τὴν σωστὴν τοποθέτησιν και προσανατολισμὸν τῶν στερεογραφιῶν εἰς φωτογραμμετρικὰ ὄργανα ἀκριβείας διακυμαίνεται ἀπὸ 30' - 1¹/₂ ὥραν ἀναλόγως τῆς ἐμπειρίας τοῦ χειριστοῦ (1, σελ. 345).
- β. Ἀπαιτεῖται μετατροπὴ τοῦ συστήματος συντεταγμένων τοῦ ὄργανου εἰς τὸ σύστημα συντεταγμένων (B - N) ποὺ ἰσχύει διὰ ἕκαστον ζεύγος στερεοφωτογραφιῶν (1, σελ. 345 - 346).
- γ. Ὑψηλὸν κόστος τῶν φωτογραμμετρικῶν ὀργάνων τόσοσιν τῶν διὰ τὴν μέτρησιν, ὅσον και τῶν διὰ τὴν ἐξαγωγήν τῶν ἀποτελεσμάτων (9).
- δ. Πληθῶρα ἐιδικῶν συσκευῶν (9, σελ. 85).
- ε. Πολύπλοκα προγράμματα δι' ἠλεκτρονικοὺς ὑπολογιστὰς (8).

Διὰ νὰ ἀποκομίση κανεῖς μίαν περισσότερον ὀλοκληρωμένην εἰκόνα ὅσον ἀφορᾷ τὴν θέσιν και τὴν ἐξάπλωσιν τῶν διατμητικῶν αὐτῶν ἐπιπέδων ἢ ἄλλως πως διακλάσεων εἰς τὰς βραχῶδεις μάζας, πρέπει νὰ μελετηθῇ ἐπισταμένως ὅλη ἢ περιοχὴ ἢ ὁποία εἶναι ἄμεσα συνδεδεμένη μὲ τὸ ἐκάστοτε ἔργον. Ἔτσι πολὺ συχνὰ εἶναι ἀναγκαῖον νὰ συλλεγοῦν στοιχεῖα διὰ διακλάσεις αἱ ὁποῖαι εὐρίσκονται εἰς τὰ ὑψηλότερα τμήματα ἐνὸς μεγάλου πρηνοῦς (rock slope) ἢ ἐνὸς λατομείου διὰ νὰ διαπιστωθῇ ἐὰν και κατὰ πόσον αἱ ὑπάρχουσαι διακλάσεις εἶναι δυνατὸν νὰ προκαλέσουν ὀλίσθησιν τῶν τμημάτων τούτων ἢ ἐπίσης διὰ μὴ προσιτὰς διακλάσεις βραχωδῶν μαζῶν, εἰς τὰς ὁποίας πρόκειται νὰ στηριχθῇ ἐν φράγμα διὰ νὰ διαπιστωθῇ κατὰ πόσον ἔχει μειωθῇ ἡ ἀντοχὴ τῶν πετρωμάτων λόγῳ τῶν διακλάσεων αὐτῶν κ.λ.π. Δεδομένου δέ, ὅτι ἡ διεξαγωγὴ μετρήσεων

καὶ ἡ συλλογὴ στοιχείων διὰ τὰς διακλάσεις ὑπὸ τοιαύτας συνθήκας ἀκόμη καὶ μὲ τὴν χρῆσιν μεθόδων Φωτογραμμετρικῶν μόνον ὑπὸ προϋποθέσεις εἶναι δυνατὴ, ἀνεπτύχθη, εἰς τὰ πλαίσια μιᾶς εὐρύτερας ἐρευνητικῆς ἐργασίας, ἡ ὁποία διεξάγεται ὑπὸ τοῦ συγγραφέως εἰς τὸ Ruhr Universität Bochum καὶ ἡ ὁποία ἀσχολεῖται μὲ τὴν δυνατότητα τοῦ ὑπολογισμοῦ τοῦ μεγέθους τῶν ἐκάστοτε διακλά-



Σχ. 1. Ὁ Θεοδολίχος FTRA.

σεων τῶν ὑπαρχουσῶν εἰς βραχῶδεις μάζας καὶ τὴν ἔκφρασιν τοῦ «βαθμοῦ διαχωρισμοῦ» τούτων ἔνεκα τῶν διακλάσεων (Degree of Separation, Durchtrennungsgrad), ἡ παροῦσα μέθοδος, ἡ ὁποία μὲ τὴν βοήθειαν ἑνὸς Θεοδολίχου ἐπιτρέπει τὴν συλλογὴν καὶ ἀξιολόγησιν τῶν παραμέτρων, ὄλων τῶν γεωτεχνικῶς σπουδαίων διακλάσεων, μὲ μεγάλην ἀκρίβειαν, ἀκόμη καὶ ὑπὸ ἀρκετὰ δυσμενεῖς μορφολογικὰς συνθήκας ἐδάφους.

2. Ο ΥΠΟΛΟΓΙΣΜΟΣ ΤΩΝ ΓΕΩΛΟΓΙΚΩΝ ΔΙΑΤΜΗΤΙΚΩΝ ΕΠΙΦΑΝΕΙΩΝ ΜΕ ΤΗΝ ΒΟΗΘΕΙΑΝ ΤΟΥ ΘΕΟΔΟΛΙΧΟΥ

2. 1. 'Ο Θεοδόλιχος.

Είναι έν είδος γωνιομέτρου, τὸ ὁποῖον ἔχει ἐπινοηθῆ δια κατ' ἔξοχὴν τοπογραφικὰς ἐργασίας. Ὁ χειρισμὸς τοῦ ὄργάνου τούτου εἰς τὰ πλαίσια τῆς παρούσης μεθόδου οὐδεμίαν σχεδὸν πείραν ἢ ἐξάσκησιν τοῦ χειριστοῦ προϋποθέτει.

Πρὸς τοῦτο ἀρκοῦν αἱ ὀδηγίαι χειρισμοῦ τοῦ ὄργάνου ἀπὸ τὸν κατασκευαστὴν του.

Διὰ τὴν διεξαγωγὴν τῶν ἰδίων μετρήσεων ἐχρησιμοποιήθη ὁ ὑφιστάμενος Θεοδόλιχος εἰς τὸ Ἰνστιτοῦτον Γεωλογίας - Γεωτεχνίας τοῦ Ruhr Universitaet Bochum, Reduktionstachymeter FTRA τοῦ ἐργοστασίου Fennel Kassel μὲ ὑποδιαίρεσιν κύκλου εἰς 400⁹ (νέοι βαθμοί). Ἡ τεχνικὴ ὁμως τῆς παρουσίας μεθόδου ἐπιτρέπει τὴν χρησιμοποίησιν ὄλων τῶν γνωστῶν Θεοδολίχων μὲ ὑποδιαίρεσιν κύκλου εἰς 400⁹ ἢ 360⁹.

Ἡ ἀξιολόγησις τῶν στοιχείων καὶ ὁ ὑπολογισμὸς τῶν ἐπιθυμητῶν παραμέτρων ἐπιτελεῖται χωρὶς τὴν παρεμβολὴν οἰουδήποτε ἄλλου ὄργάνου, ἐκτὸς ἐνὸς ἠλεκτρονικοῦ ὑπολογιστοῦ, ὁ ὁποῖος ἐπὶ τῇ βάσει ὑφισταμένου ὑπολογιστικοῦ προγράμματος, δίδει ἀπ' εὐθείας τὴν θέσιν, προσανατολισμὸν καὶ μέγεθος δι' ὅλας τὰς ἐπιθυμητὰς διακλάσεις ἐπὶ τῇ βάσει τῶν γενομένων μετρήσεων εἰς τὴν ὑπαιθρον.

Τὸ μικρὸν σχετικῶς βάρος καὶ διαστάσεις τοῦ Θεοδολίχου (ὁ χρησιμοποιηθεὶς ζυγίζει 5,5 kgr., τὸ δὲ τρίποδον 7 kgr.) καθιστοῦν τὸ ὄλον ὄργανον εὐχρηστον.

2. 2. Μέτρησις διὰ τοῦ Θεοδολίχου.

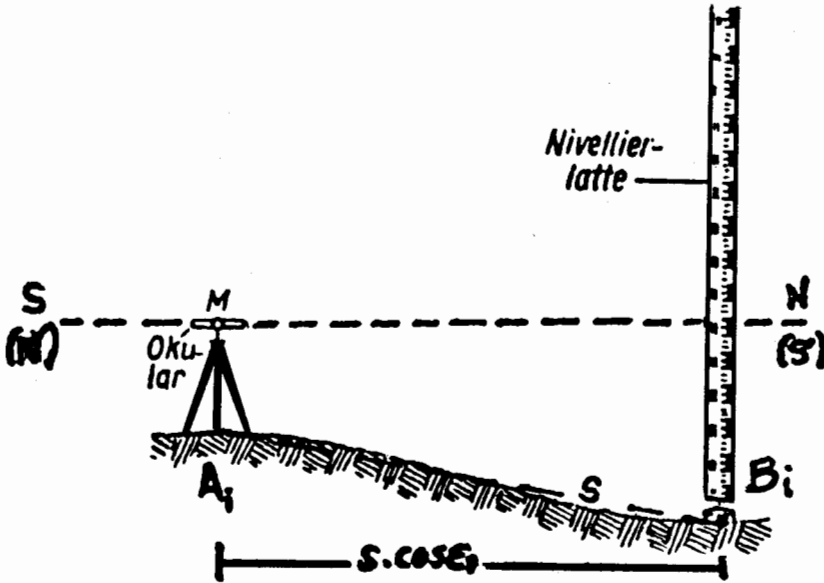
2. 2. 1. Τεχνικὴ τῆς μετρήσεως.

Διὰ τὴν ἐγκατάστασιν τοῦ ὄργάνου εἰς τὸ ὑπαιθρον πρέπει κατ' ἀρχὴν νὰ ἐπιλεγῆ έν «σημεῖον στάσεως» ἐπὶ τοῦ ἐδάφους A_1 κατὰ τοιοῦτον τρόπον, ὥστε νὰ ὑπάρχη ἀπ' εὐθείας ὀπτικὴ «ἀνταπόκρισις» μεταξὺ τοῦ ὀπτικοῦ σωλήνος τοῦ Θεοδολίχου καὶ ὄλων τῶν ἐπιφανειακῶς κειμένων διακλάσεων, αἱ ὁποῖαι πρόκειται νὰ μετρηθοῦν. Ἡ ἀπόστασις του ἀπὸ τὴν ἐπιφάνειαν τῆς βραχώδους μάζης πρέπει νὰ εἶναι τοιαύτη, ὥστε τὰ, διὰ γυμνοῦ ὀφθαλμοῦ ἐφ' ἐκάστης ἐπιφανειακῶς κειμένης διακλάσεως, ἐπιλεχθέντα σημεῖα νὰ εἶναι δυνατὸν νὰ ἀναγνωρισθοῦν καὶ διὰ μέσῳ τοῦ ὀπτικοῦ σωλήνος τοῦ Θεοδολίχου. Ἡ ἀπόστασις αὕτη, διὰ νὰ μὴ μειωθῆ ἢ ἀκρίβεια, δὲν θὰ πρέπει νὰ ὑπερβαίνη πάντως τὰ 40 μ.

Συνιστᾶται πρὸ τῆς διεξαγωγῆς τῆς μετρήσεως, νὰ συνταχθῆ εἰς «φωτογραφικὸς χάρτης» τῆς ἐπιφανείας τῆς βραχώδους μάζης, ἀποτελούμενος ἀπὸ συνεχόμενας ἀπλὰς φωτογραφίας αἱ ὁποῖαι ἔχουν ληφθῆ μὲ μίαν ἀπλὴν φωτογραφικὴν μηχανὴν ἢ μίαν Polaroid μηχανὴν καὶ ἐπὶ τοῦ ὁποῖου χάρτου νὰ ἔχουν ἐπι-

σημανθῆ ὄλαι αἰ πρὸς μέτρησιν ἐπιφάνειαι διακλάσεων μὲ τὰ ἐπ' αὐτῶν ἐπιλεγέντα σημεῖα ἢ δυνατὸν μὲ χρωματιστὰς κοκκίδας. Ὁ ἀριθμὸς τῶν σημείων τούτων πρέπει νὰ κυμαίνεται μεταξὺ 7 - 15 δι' ἑκάστην διάκλασιν, κείμενα κατὰ προτίμησιν εἰς τὴν περιφέρειαν ταύτης.

Μετὰ τὴν ἐγκατάστασιν τοῦ ὄργανου εἰς τὸ ἐπιλεγέν σημεῖον A_i , ἀκολουθεῖ ὁ προσανατολισμὸς τοῦ O τῆς ὀριζοντίου κλίμακος τοῦ ὄργανου εἰς τὴν διεύ-



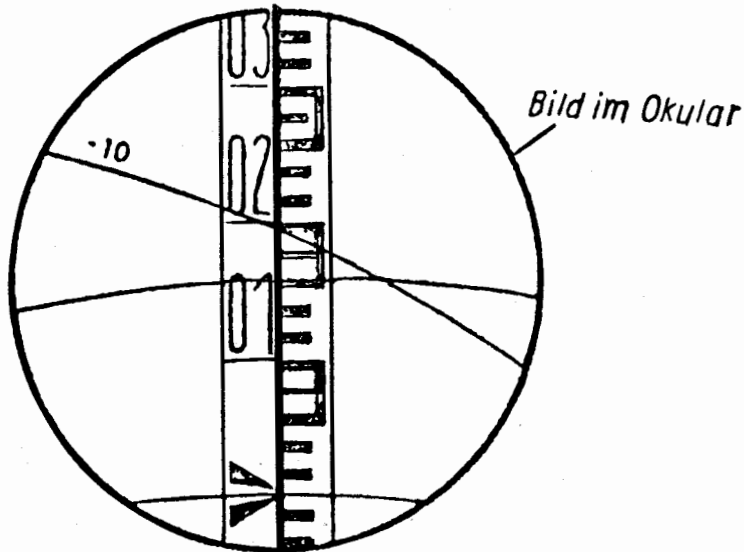
Σχ. 2. Προσανατολισμὸς τῆς κλίμακος τοῦ Θεοδολίχου εἰς τὴν διεύθυνσιν N - S, καὶ ἐκλογή τοῦ «σημεῖου στάσεως» E_i ;

θυσιν τοῦ Βορρᾶ (N) μὲ τὴν βοήθειαν μιᾶς γεωλ. πυξίδος καὶ μιᾶς σταδίας (σχ. 2). Ἀπὸ τὸ «σημεῖον στάσεως» A_i , μετρεῖται κατόπιν διὰ ὄλα τὰ σημεῖα ἑκάστης διακλάσεως μία ὀριζοντία α_i' καὶ μία κατακόρυφος γωνία ϵ_i' , μὲ ἄλλα λόγια ἢ ἀπόκλισις ἑκάστου σημείου ἀπὸ τὸν Βορρᾶ (δεξιοστρόφως) καὶ ἡ ὕψομετρικὴ τῆς γωνίας ἀπὸ τὸ ὀριζόντιον ἐπίπεδον τοῦ Θεοδολίχου (σχ. 4).

Κατόπιν ἐκλέγεται ἓνα δεύτερον σημεῖον στάσεως B_i , στρέφοντας τὴν ὀριζοντίαν κλίμακα τοῦ Θεοδολίχου εἰς τὴν ὑποδιαίρεσιν 200° (ἢ τὸ ἴδιον 180°) καὶ εἰς τὴν διεύθυνσιν τότε τοῦ ὀπτικοῦ σωλήνος ἢ ἄλλως πως διεύθυνσιν N - S μὲ τὴν βοήθειαν μιᾶς σταδίας, τῆς ὁποίας τὸ μηδὲν ἔχει τοποθετηθῆ εἰς τὸ ὕψος τοῦ ὀπτικοῦ σωλήνος τοῦ Θεοδολίχου, ἐκλέγεται τὸ δεύτερον σημεῖον στάσεως B_i (σχ. 2). Δι' αὐτοῦ τοῦ τρόπου ἐπιτυγχάνεται ὅπως ἀμφοτέρω τὰ «σημεῖα στάσεως» κείνται ἐπὶ τῆς διευθύνσεως N - S (σχ. 4), ὡς ἐπίσης καὶ ἡ κατ' εὐθείαν μέτρησις διὰ τοῦ Θεοδολίχου τῆς ὕψομετρικῆς διαφορᾶς καὶ ἀποστάσεως τῶν δύο

σημείων στάσεως A_i , B_i ἐπὶ τῆς Σταδίας (σχ. 3). Ἡ εὐθεῖα ἢ ὀριζομένη ὑπὸ τῶν σημείων στάσεως A_i , B_i καλεῖται γραμμὴ βάσεως.

Ἡ ἀπόστασις μεταξὺ τῶν δύο «σημείων στάσεως» πρέπει νὰ ἐπιλεγῆ ἕτσι ὥστε καὶ ἀπὸ τὸ σημεῖον B_i νὰ ὑπάρχη ὀπτική ἀνταπόκρισις μὲ τὰ ἤδη μετρηθέντα ἀπὸ τὸ A_i σημεῖα. Εἰς τὰς περισσοτέρας τῶν περιπτώσεων 10 - 20 μ. μῆκος διὰ τὴν γραμμὴν βάσεως, ἀρκοῦν.



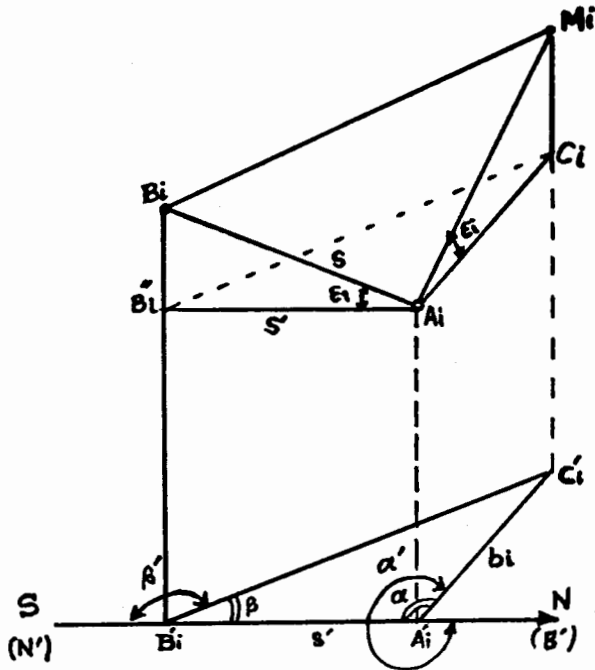
Σχ. 3. Παράδειγμα ὑπολογισμοῦ τῆς ὑψομετρικῆς διαφορᾶς καὶ τῆς ἀποστάσεως τῶν δύο σημείων στάσεως A_i , B_i . (ἐκ τοῦ σχ. 2). Ἀπόστασις 15,9 μ. Ὑψομετρικὴ διαφορὰ 1.93 μ.

Ἀπὸ τὸ σημεῖον B_i τώρα, μετρεῖται γιὰ ὅλα τὰ ἐπιλεγέντα σημεῖα ἐκάστης διακλάσεως μία μόνον ὀριζοντία γωνία β'_i , δηλαδὴ ἡ ἀπόκλισις ἐκάστου σημείου ἀπὸ τὸν Βορρᾶν μετρηθεῖσα ἀπὸ τὸ «σημεῖον στάσεως» B_i .

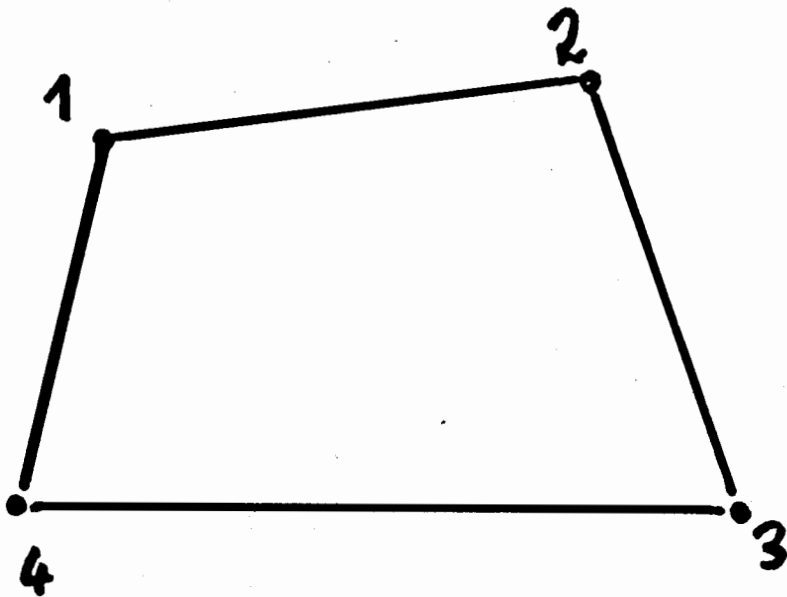
Τὸ ὕψος τοῦ ὀπτικοῦ ἄξονος τοῦ Θεοδολίχου εἰς ἀμφοτέρω τὰ σημεῖα στάσεως A_i , B_i πρέπει νὰ παραμένῃ τὸ αὐτόν.

2.2.2. Ἀκρίβεια μετρήσεων.

Ἡ ἀκρίβεια τῆς προαναφερθείσης τεχνικῆς διαφαίνεται ἀπὸ τὸ ἀκολουθοῦν παράδειγμα, κατὰ τὸ ὁποῖον μία ἐπιφάνεια ἐμετρήθη πειραματικῶς μὲ τὸν Θεοδολίχον, αἱ δὲ ὑπολογισθεῖσαι παράμετροι ταύτης, ἦτοι τὸ μῆκος τῶν τεσσάρων πλευρῶν τῆς (ἐμβαδόν), διεύθυνσις, κλίσις καὶ διεύθυνσις κλίσεως συγκρίνονται μὲ τὰς τοιαύτας μετρηθεῖσας ἀπ' εὐθείας μὲ γεωλ. πυξίδα καὶ μετροταινίαν.



Σχ. 4. Γωνιομέτρησης ενός σημείου M_i μίας επιφανείας από τὰ σημεία στάσεως τῆς κεκλιμένης γραμμῆς βάσεως $A_i B_i$.



Σχ. 5. Περιγράμμα τῆς πειραματικῶς μετρηθείσης ἐπιφανείας.

Π Ι Ν Α Κ Ε 1.

Σύγκρισις ύπολογισθέντων καὶ κατ' εὐθείαν μετρηθέντων στοιχείων τῆς πειραματικῶς μετρηθείσης ἐπιφανείας.

	*Υπολογισμὸς διὰ τοῦ Θεοδολίχου	Κατ' εὐθείαν μέτρησις
$l_{1,2}$	1,3307 μ	1,34 μ
$l_{2,3}$	0,83 μ	0,82 μ
$l_{3,4}$	1,5513 μ	1,56 μ
$l_{1,4}$	0,5639 μ	0,56 μ
Κλίσις	25,222°	25°
Διεύθυνσις κλίσεως	157,7873°	158°
Διεύθυνσις . . .	67,7873°	68°

Τὸ περίγραμμα τῆς μετρηθείσης ἐπιφανείας, ὡς καὶ αἱ συγκρίσεις ύπολογισθέντων καὶ κατ' εὐθείαν μετρηθέντων παραμέτρων ταύτης, δίδονται ὑπὸ τοῦ σχ. 5 καὶ πίνακος 1, ἀντιστοίχως. Ὡς διαφαίνεται ἐκ τῆς παρατιθεμένης συγκρίσεως, ἡ σύμπτωση τῶν ἀποτελεσμάτων εἶναι προφανής.

Ἡ ἐξέτασις τῆς ἀκριβείας τῆς παρουσίας μεθόδου θὰ ὀλοκληρωθῆ μετὴν ἀνάλυσιν τῶν σφαλμάτων, τὰ ὁποῖα ὑπεισέρχονται κατὰ τὴν μέτρησιν (Fehlerberechnung-error Analysis). Ἡ ἐξέτασις τῆς ἀκριβείας κατὰ τὴν ἐξαγωγήν τῶν ἀποτελεσμάτων κατὰ τὰ διάφορα στάδια διὰ μέσφ τοῦ ἠλεκτρονικοῦ ὑπολογιστοῦ θὰ ἀναφερθῆ εἰς ἄλλον κεφάλαιον τῆς παρουσίας ἐργασίας.

Τὰ σφάλματα τὰ ὁποῖα ὑπεισέρχονται εἰς τὴν μέτρησιν εἶναι δύο εἰδῶν, τὰ αἰτία τῶν ἔγκεινται ἀφ' ἑνὸς μὲν εἰς τὴν ἀκρίβεια τοῦ Θεοδολίχου, ὡς ὄργανου, καὶ καλοῦνται σ φ ἄ λ μ α τ α ὀ ρ γ ἄ ν ο υ (Instrumentfehler, Instrument Errors) καὶ τὰ ὁποῖα εἶναι εἴτε σταθερὰ (μόνιμα) ἢ συστηματικὰ σφάλματα, ἀφ' ἑτέρου δὲ προκύπτουν ὡς αὐθαίρετα σφάλματα κατὰ τὴν ἐγκατάστασιν τοῦ ὄργανου εἰς τὰ «σημεῖα στάσεως», εἴτε ἀκόμη κατὰ τὴν ἀνάγνωσιν τῶν μετρήσεων ὑπὸ τοῦ χειριστοῦ καὶ ὡς ἐκ τούτου καλοῦνται ὑποκειμενικὰ ἢ τυχαῖα σφάλματα ἢ καὶ σ φ ἄ λ μ α τ α π α ρ α τ η ρ η τ ο ῦ (Beobachterfehler, Observer errors).

Τὰ σφάλματα ὄργανου δίδονται κατὰ κανόνα ὑπὸ τοῦ κατασκευαστοῦ ὡς μέσα σφάλματα. Ἐν προκειμένφ διὰ τὸν χρησιμοποιηθέντα Θεοδολίχον FTRA τὰ σφάλματα ὄργανου εἶναι διὰ μὲν τὴν μέτρησιν ἀποστάσεων $\pm 0,1$ ἕως $\pm 0,2$ μ. στὰ 100 μ., διὰ τὴν μέτρησιν δὲ ὑψομετρικῶν διαφορῶν, ἀνάλογα μετὴν ἐκάστοτε χρησιμοποιουμένην καμπύλην τῆς μετρικῆς κλίμακος μετὰ τὰς σταθερὰς 10, 20 ἢ 50, μέσα σφάλματα $\pm 0,03$ ἕως $\pm 0,10$ μ.

Τὰ μέσα σφάλματα, τέλος, τοῦ ὄργανου τὰ ὁποῖα προκύπτουν κατὰ τὴν «σκόπευσιν» τῶν διευθύνσεων εἶναι μικρότερα τῶν $\pm 15^{\circ}$ ἢ $\pm 5''$

Δεδομένου, ὅτι ἡ ἀκρίβεια τῶν τελικῶν ἀποτελεσμάτων ἐξαρτᾶται, κατὰ τὸ

μεγαλύτερον μέρος, ἀπὸ τὰ σφάλματα τὰ ὁποῖα περιλαμβάνουν τὰ ἀρχικῶς συλλεγένητα στοιχεῖα, δέον ὅπως πιστοποιηθοῦν καὶ ὑπολογισθοῦν τὰ σφάλματα ὀργάνου ὡς καὶ τὰ σφάλματα παρατηρητοῦ εἰς τὴν πρᾶξιν.

Πρὸς τὸν σκοπὸν αὐτὸν ἐπελέγησαν ἐπὶ μιᾶς διακλάσεως 6 περιφερειακῶς κείμενα σημεῖα, τὰ ὁποῖα ἐμετρήθησαν ἀνὰ τρεῖς φορὰς διαδοχικῶς ὑπὸ δύο διαφορετικῶν παρατηρητῶν, ἀπὸ δύο «σημεῖα στάσεως» μὲ τὴν αὐτὴν ἀκρίβειαν ὀργάνου δηλ. ἡ θέσις τοῦ ὀργάνου εἰς τὰ δύο «σημεῖα στάσεως» διετηρήθη ἐκάστοτε σταθερὰ διὰ τοὺς δύο παρατηρητάς. Ὁ εἰς τῶν παρατηρητῶν ἦτο ἄπειρος. Ἐστῶσαν $\alpha_{1,i}$, $\alpha_{2,i}$, $\alpha_{3,i}$ αἱ μετρηθεῖσαι τιμαὶ ἐκάστης γωνίας δι' ἕκαστον σημεῖον M_i τῆς διακλάσεως. Κατόπιν τούτου ἰσχύει $\alpha_{1,i} = \alpha_i$, $\alpha_{2,i} = \alpha_i$, $\alpha_{3,i} = \alpha_i$. Δεδομένου, ὅτι ἡ μέτρησις ἐπανελήφθη ἐκάστοτε τρεῖς φορὰς ὑπὸ ἀμφοτέρων τῶν παρατηρητῶν εἰς ἕκαστον «σημεῖον στάσεως», χωρὶς νὰ μετακινήθῃ τὸ ὄργανον, ἡ ἐπίδρασις τῶν σφαλμάτων τοῦ ὀργάνου εἰς τὰς μετρήσεις αἱ ὁποῖαι ἔγιναν εἰς ἕκαστον «σημεῖον στάσεως» κεχωρισμένως, παρέμεινε σταθερά, δηλαδὴ αἱ μετρήσεις ἀμφοτέρων τῶν παρατηρητῶν εἰς τὴν αὐτὴν θέσιν τοῦ ὀργάνου ὑπόκεινται εἰς τὸ αὐτὸ σφάλμα, ἔχουν δηλαδὴ τὴν αὐτὴν «ὄντοτητα» $P_1 = P_2 = P_3 = 1$. Μὲ ἄλλα λόγια τὸ σφάλμα ἐκάστης μεμονωμένης μετρήσεως μετέχει ἰσότημα εἰς τὸ ἄθροισμα τῶν ἐλαχίστων τετραγώνων τῶν σφαλμάτων. Τὸ ἄθροισμα τοῦτο ὡς καὶ ἡ ἐπίλυσις του ὡς πρὸς τὸν ἄγνωστον α_i ἔχει ὡς ἑξῆς:

$$S = \frac{1}{\sigma^2} \sum_{i=1}^3 (\alpha_{j,i} - \alpha_i)^2$$

ἢ

$$\frac{\partial S}{\partial \alpha_i} = -\frac{2}{\sigma^2} \sum_{i=1}^3 (\alpha_{j,i} - \alpha_i) \quad \eta \quad \sum_{i=1}^3 (\alpha_{j,i} - \alpha_i) = 0 \quad (1)$$

ἐκ τῆς ὁποίας προκύπτει

$$\hat{\alpha}_i^* = \bar{\alpha}_i = \frac{\alpha_{1,i} + \alpha_{2,i} + \alpha_{3,i}}{3} \quad (2)$$

Τὸ μέσον σφάλμα ἐκάστης μετρήσεως εἶναι

$$\Delta \bar{\alpha}_i = \sqrt{\frac{\sum_{i=1}^3 (\alpha_{j,i} - \bar{\alpha}_i)^2}{n-1}} \quad (3)$$

Εἰς τοὺς παρακειμένους πίνακας 2 καὶ 3 δίδονται αἱ κατὰ προσέγγισιν τιμαὶ διὰ τὰς μετρηθείσας γωνίας α' , β' , ϵ' , ὡς ἐπίσης καὶ αἱ μέσαι τιμαὶ τούτων δι' ἕκαστον μετρηθὲν σημεῖον. Ἐπίσης δίδονται καὶ τὰ ἐκάστοτε μέσα σφάλματα τῶν μετρήσεων.

* $\hat{\alpha}_i$: σημαίνει προσεγγιστικὴν τιμὴν γιὰ τὸ α_i .

Π Ι Ν Α Κ Ε 2 .

Διαδοχική μέτρησης τών σημείων μιᾶς διακλάσεως, ὑπὸ πεπειραμένου παρατηρητοῦ — ὑπολογισμὸς τοῦ μέσου σφάλματος.

	1	2	3	4	5	6	
I	α'	37,282	37,750	38,880	39,778	38,830	37,705
	ε'	86,565	85,650	87,480	89,389	89,840	38,080
	β'	84,139	85,290	87,490	88,803	87,270	85,164
II	α'	37,285	37,750	38,880	39,780	38,829	37,708
	ε'	86,750	85,650	87,480	89,390	89,839	88,080
	β'	84,140	85,285	87,490	88,810	87,260	85,160
III	α'	37,288	37,750	38,880	39,780	38,825	37,708
	ε'	86,570	85,650	87,480	89,390	89,840	88,080
	β'	84,150	85,285	87,489	88,808	87,262	85,160
Μέσαι τιμαὶ $\bar{\alpha}'$, $\bar{\beta}'$, $\bar{\epsilon}'$	$\bar{\alpha}'$ 37,2850	37,7500	38,8800	39,7793	38,8280	37,7070	
	$\bar{\epsilon}'$ 86,5683	85,6500	87,4800	89,3896	89,8396	88,0800	
	$\bar{\beta}'$ 84,1430	85,2860	87,4890	88,8070	87,2640	85,1613	
Μέσον σφάλ- μα ἐκάστης μετρήσεως	Εα' $0,3 \cdot 10^{-2}$	0	0	$0,1155422 \cdot 10^{-2}$	$0,26457513 \cdot 10^{-2}$	$0,173205 \cdot 10^{-2}$	
	Εε' $0,288704 \cdot 10^{-2}$	0	0	$0,0583095 \cdot 10^{-2}$	$0,0583095 \cdot 10^{-2}$	0	
	Εβ' $0,6082762 \cdot 10^{-2}$	$0,3 \cdot 10^{-2}$	$0,1 \cdot 10^{-2}$	$0,36055512 \cdot 10^{-2}$	$0,52915026 \cdot 10^{-2}$	$0,230976 \cdot 10^{-2}$	

Μέση τιμή τών μέσων σφαλμάτων κατὰ τὴν μέτρησην γωνιῶν $\bar{\epsilon} = 0,1881999702 \cdot 10^{-2}$, ὅπου $s : 13,82 \mu$. γραμμὴ βάσεως, $\epsilon_1 : 0,373129^\circ$, ὑψομετρικὴ διαφορὰ τών «σημείων στάσεως» εἰς μοίρας.

Π Ι Ν Α Ξ 3.

Διαδοχική μέτρησης τών σημείων τής Ιδίας διακλάσεως (πίν. 2) υπό μη πεπειραμένου παρατηρητού
 ύπολογισμός του μέσου σφάλματος.

		1	2	3	4	5	6
I	α'	37,281	37,750	38,880	39,775	38,814	37,715
	ε'	85,568	85,650	87,480	89,381	89,830	88,080
	β'	84,140	85,290	87,495	88,805	87,250	85,180
II	α'	37,289	37,750	38,880	39,772	38,830	37,716
	ε'	86,580	85,650	87,480	89,388	89,835	88,080
	β'	84,137	85,290	87,489	88,810	87,267	85,173
III	α'	37,282	37,750	38,880	39,770	38,820	37,720
	ε'	86,575	85,650	87,480	89,385	89,83	88,077
	β'	84,132	85,285	87,490	88,800	87,245	85,180
Μέσαι τιμαί α', β', ε'	$\bar{\alpha}'$	37,284	37,750	38,880	39,7723	38,8213	37,717
	$\bar{\varepsilon}'$	86,5743	85,650	87,480	89,3846	89,83166	88,079
	$\bar{\beta}'$	84,1363	85,2883	87,4913	88,805	87,254	85,1776
Μέσον σφάλμα ἐκάστης μετρήσεως	Eα'	$0,4358898 \cdot 10^{-2}$	0	0	$0,2516942 \cdot 10^{-2}$	$0,80820 \cdot 10^{-2}$	$0,2645751 \cdot 10^{-2}$
	Eε'	$0,0027857 \cdot 10^{-2}$	0	0	$0,3512833 \cdot 10^{-2}$	$0,288616 \cdot 10^{-2}$	$0,17320508 \cdot 10^{-2}$
	Eβ'	$0,4041658 \cdot 10^{-2}$	$0,288704 \cdot 10^{-2}$	$0,3214809 \cdot 10^{-2}$	$0,5020 \cdot 10^{-2}$	$1,153250 \cdot 10^{-2}$	$0,4043376 \cdot 10^{-2}$

Μέση τιμή τών μέσων σφαλμάτων κατά την μέτρησην γωνιών $\varepsilon = 0,3471246988 \cdot 10^{-2}$ διὰ τήν αὐτήν γραμμὴν βάσεως s_1 ,
 καὶ ὑπομετρικὴν διαφορὰν ε_1 τών «σημείων στάσεως» (πίναξ 2).

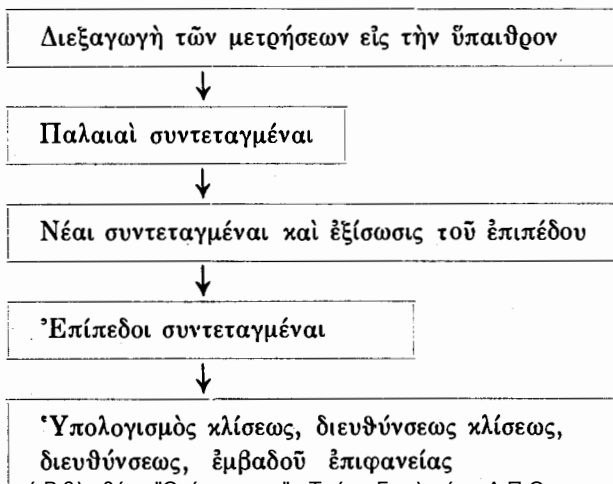
Ἡ μέση τιμὴ τῶν μέσων σφαλμάτων δεικνύει τὴν τάξιν μεγέθους τοῦ σφάλματος μὲ τὸ ὅποιον εἶναι ἐπιβεβαρυνόμεναι αἱ ἀρχικαὶ μετρήσεις. Ὡς φαίνεται καὶ ἀπὸ τοὺς πίνακας 2 καὶ 3 τοῦτον εἶναι σχεδὸν διπλάσιον διὰ τὸν ἄπειρον παρατηρητὴν, ἀπ' ὅτι διὰ τὸν πεπειραμένον, εἶναι ἐν τούτοις καὶ εἰς τὰς δύο περιπτώσεις τόσον μικρόν, ὥστε νὰ παραμεληθῆ ἰσχυροῦντας διὰ τὴν μεγάλην ἀκρίβειαν τῶν ἐν ὑπαίθρῳ συλλεγόντων μετρήσεων.

2. 2. 3. Ἀπαιτούμενος χρόνος.

Ἡ διεξαγωγή μετρήσεων ἐν ὑπαίθρῳ μὲ τὸν Θεοδόλιχον, ἄλλως πὼς Ταχυμετρία, ἀπαιτεῖ ἐλάχιστον χρόνον, ἐξ οὗ ἄλλωστε καὶ τὸ ὄνομα Ταχυμετρία. Βασικά, ὁ ἀπαιτούμενος χρόνος ἐξαρτᾶται ἀπὸ τὴν ἔκτασιν τῶν ἀπαιτουμένων μετρήσεων, ὡς ἐπίσης καὶ ἀπὸ τὴν ἐμπειρίαν τοῦ παρατηρητοῦ. Ἐπὶ παραδείγματι, ὁ ἀπαιτηθεὶς χρόνος διὰ τὴν διεξαγωγὴν τῶν μετρήσεων τῶν ἀναφερομένων εἰς τοὺς πίνακας 2 καὶ 3, ἦτο διαφορητικός. Ἡ πλήρης ἀνάπτυξις καὶ τοποθέτησις τοῦ ὄργανου εἰς ἐν «σημεῖον στάσεως» μέχρι τῆς ἐνάρξεως τῶν μετρήσεων ἀπήτησε καὶ διὰ τοὺς δύο παρατηρητὰς περὶ τὰ 3'. Ἡ πλήρης μέτρησις τῆς διακλάσεως ἀπήτησε διὰ μὲν τὸν πεπειραμένον παρατηρητὴν 2 - 3' διὰ δὲ τὸν ἄπειρον 5 - 6'. Μικρὴ ὁμως ἐξάσκησις καὶ ἐξοικίωσις μὲ τὸν Θεοδόλιχον συντελοῦν ὥστε ὁ χρόνος νὰ περιορισθῆ εἰς τὸ ἐλάχιστον.

3. ΑΞΙΟΛΟΓΗΣΙΣ ΤΩΝ ΜΕΤΡΗΣΕΩΝ

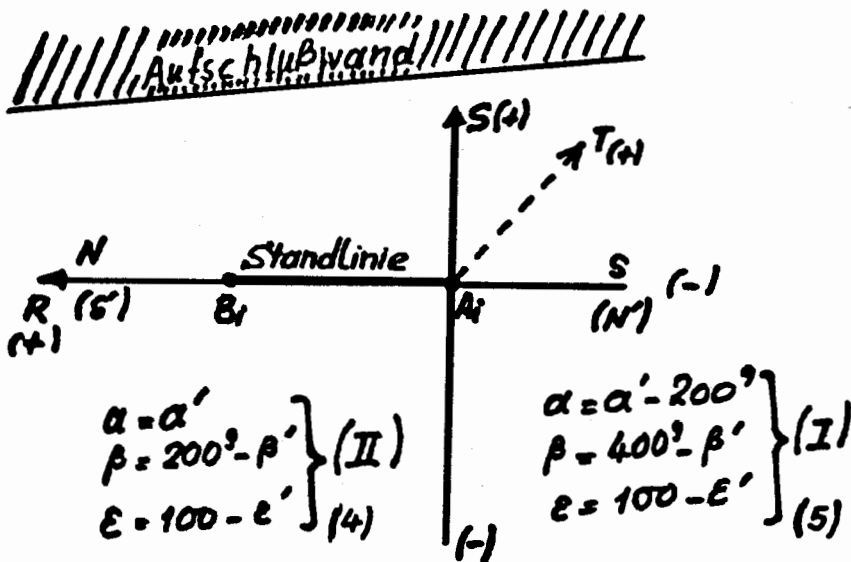
Ἡ σύμπτωσις τῆς γραμμῆς βάσεως μὲ τὴν διεύθυνσιν Βορρᾶ-Νότου διευκολύνει τὴν εἰσαγωγὴν ἑνὸς τρισδιαστάτου συστήματος συντεταγμένων, ἥδη ἐν ὑπαίθρῳ, τὸ ὅποιον πρὸς ἀποφυγὴν συγχύσεως εἰς τοὺς μετέπειτα ὑπολογισμοὺς ἔχει τὸν συμβολισμόν RST. Εἰς τὸ σύστημα τοῦτο λοιπὸν τῶν συντεταγμένων, ἡ γραμμὴ βάσεως $A_i B_i$ ἢ ἄλλοιῶς ἡ N - S διεύθυνσις παριστᾶ τὸν R - ἄξονα, καθέτως πρὸς αὐτὸν καὶ ἐπὶ τοῦ ὀριζοντίου ἐπιπέδου ἐκτείνεται ὁ S - ἄξων, κατακορύφως δὲ πρὸς τοὺς δύο προηγουμένους ἐκτείνεται ὁ T - ἄξων. Ἐν συσχετισμῷ λοιπὸν πρὸς τὸ σύστημα αὐτὸ τῶν συντεταγμένων ἀκολουθεῖ μία σειρά ὑπολογισμῶν ἢ σχηματικὴ παράστασις τῶν ὁποίων ἔχει ὡς ἑξῆς:



Διὰ τὴν ἀπλουστέραν καὶ ταχύτεραν ἐκτέλεσιν τῶν ὑπολογισμῶν αὐτῶν, ἔχει γραφῆ ἓν πρόγραμμα δι' ἠλεκτρονικὸν ὑπολογιστὴν, τὸ ὁποῖον ἐπιτρέπει τὸν ὑπολογισμὸν τῶν προαναφερθειῶν παραμέτρων τῶν διακλάσεων ἐντὸς ἐλαχίστου χρόνου. Αἱ ἀρχαὶ καὶ τὰ μαθηματικὰ ὑπόβαθρα τούτου, θὰ ἐξετασθοῦν εἰς τὰς ἐπομένας παραγράφους.

3.1. Διαδικασία τῆς ἀξιολογήσεως.

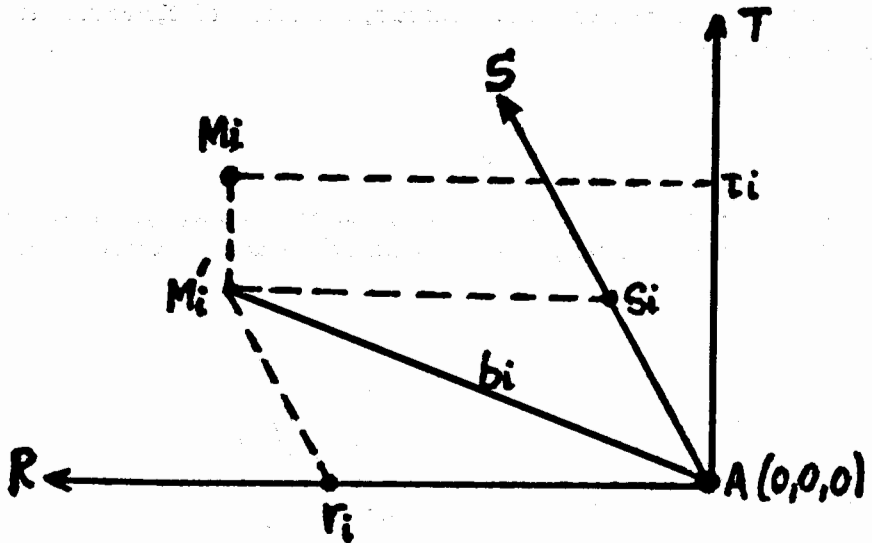
Ἀπὸ τὰς δύο ὀριζοντίας γωνίας α' , β' , καὶ τὴν κατακόρυφον γωνίαν ϵ' αἱ ὁποῖαι ἐμετρήθησαν συνολικῶς δι' ἕκαστον ἐπιλεγὲν σημεῖον, ὑπολογίζονται κατ'



Σχ. 6. Ὑπολογισμὸς τῶν ἐπιπέδων γωνιῶν ἀπὸ τὰς ἐν ὑπαίθρῳ μετρηθείσας γωνίας.

ἀρχὰς αἱ γωνίαι βάσεως τοῦ ἐπιπέδου τριγώνου $A_1 B_1 C_1$ (σχ. 4) κατὰ τοὺς τύπους (4) ἢ (5), ἀναλόγως ἀν ἡ διεύθυνσις τοῦ Βορρᾶ ἀριστερὰ (II) ἢ δεξιὰ (I) τῆς βραχώδους ἐπιφανείας ἐκτείνεται (σχ. 6). Ἡ φορὰ ἀπὸ A_1 πρὸς B_1 λαμβάνεται σταθερῶς ὡς θετικὴ φορὰ, τὸ δὲ «σημεῖον στάσεως» A_1 ὡς τὸ 0 τοῦ συστήματος συντεταγμένων.

Κατόπιν τούτου υπολογίζονται αἱ συντεταγμέναι χώρου δι' ἕκαστον σημεῖον συμφώνως πρὸς τοὺς τύπους (6) καὶ (7) καὶ τὰ σχ. 4 καὶ 7.



Σχ. 7. Ὑπολογισμὸς τῶν συντεταγμένων χώρου, ἢ «παλαιῶν συντεταγμένων» δι' ἕκαστον σημεῖον μιᾶς ἐπιφανείας.

$$b_i = s \frac{\sin \beta_i \cdot \cos \varepsilon_i}{\sin (\alpha_i + \beta_i)} \quad (6)$$

$$\left. \begin{aligned} r_i &= b_i \cdot \cos \alpha_i \\ s_i &= b_i \cdot \sin \alpha_i \\ t_i &= b_i \cdot \tan \varepsilon_i \end{aligned} \right\} \quad (7)$$

3. 2. Διάκλασις ἢ διατμητικὴ ἐπιφάνεια πετρώματος ὡς ἐπίπεδον.

Αἱ διακλάσεις, ὅπως οἰαδήποτε διατμητικὴ καὶ ἄλλη γεωλογικὴ ἐπιφάνεια, οὐδέποτε εἶναι τέλεια ἐπίπεδα. Συνήθως παρουσιάζουν ἐπιφανειακὰς ἀνωμαλίας καὶ καμπυλότητας. Ἡ παρουσίασις λοιπὸν τούτων ὡς ἐπιπέδων, προϋποθέτει τὸν ὑπολογισμὸν τῶν «ἐξισωτικῶν τῶν ἐπιπέδων» (regression plan), ἐπὶ τῇ βάσει τῶν ἐπ' αὐτῶν ἐπιλεγέντων καὶ μετρηθέντων σημεῖων.

Ὡς συντεταγμέναι χώρου τῶν σημεῖων τούτων θὰ λαμβάνονται πλέον αἱ συντεταγμέναι χώρου τῶν προβολῶν των ἐπὶ τοῦ ἐξισωτικοῦ τῶν ἐπιπέδων, καλούμεναι νέαι συντεταγμέναι. Οὕτω πως διευκολύνεται ὁ ὑπολογισμὸς καὶ ἐπιτυγχάνεται μεγαλυτέρα ἀκρίβεια κατὰ τὸν ὑπολογισμὸν τῆς κλίσεως, διευθύνσεως κλί-

σεως, διευθύνσεως και έμβραδοῦ τῶν ἐπιφανειῶν τούτων. Ὁ μαθηματικὸς ὑπολογισμὸς τοιούτων ἐξισωτικῶν ἐπιπέδων, τὰ ὁποῖα ἐκφράζονται μὲ μίαν μαθηματικὴν ἐξίσωσιν, ὡς και ἡ μετάβασις ἀπὸ τὰς συντεταγμένας χώρου τῶν σημείων εἰς τὰς δυσδιαστάτους συντεταγμένας ἐπὶ τῶν ἐπιπέδων τούτων ἐκτίθενται εἰς τὰς προσθήκας Α καὶ Β. Εἰς τὰ ἐπόμενα, λοιπόν, ἐκάστη ἐπιφάνεια διακλάσεως θὰ νοηται συνταυτισμένη μὲ τὸ ἐξισωτικὸν ἐπίπεδον διὰ τῶν ἐπ' αὐτῆς μετρηθέντων σημείων εἰς τὸν χῶρον.

Ἡ παραδοχὴ ταύτη ἐπιτρέπει, σὺν τοῖς ἄλλοις, τὴν ἀποκόμισιν μιᾶς πρώτης ἐντυπώσεως, ὅσον ἀφορᾷ τὴν καμπυλότητα ἢ μὴ κανονικότητα τοῦ ἐπιπέδου τῆς διακλάσεως, ἀφοῦ ὑπολογίσει κανεὶς τὰς ἀποστάσεις τῶν μετρηθέντων σημείων ἀπὸ τὸ ἐξισωτικὸν τῶν ἐπιπέδων καὶ τὸ ὁποῖον ἔχει ἤδη προβλεφθῆ εἰς τὸ ὑπάρχον πρόγραμμα διὰ τὸν ἠλεκτρονικὸν ὑπολογιστήν.

3.2.1. Ὑπολογισμὸς τῶν παραμέτρων.

Ὁ ὑπολογισμὸς οὗτος γίνεται ἐπὶ τῇ βάσει τῆς μαθηματικῆς ἐξίσωσεως τοῦ ἐξισωτικοῦ ἐπιπέδου ἐκάστης ἐπιφανείας ὡς και τῶν ἐπιπέδων συντεταγμένων τῶν σημείων τῆς.

3.2.2. Κλίσις.

Ἐστω $ax_i + by_i + cz_i = -1$ ἡ ἐξίσωσις ἐνὸς τοιούτου ἐπιπέδου (ἰδὲ προσθήκη). Ἡ κλίσις τούτου, φ_i δίδεται ὑπὸ τοῦ τύπου

$$\cos \varphi_i = \frac{c}{\sqrt{a^2 + b^2 + c^2}} \quad (8)$$

ὡς συνάγεται ὑπὸ τοῦ σχ. 8, ἡ γωνία κλίσεως φ_i εἶναι ἡ γωνία μεταξὺ τοῦ δεδομένου ἐπιπέδου $ax_i + by_i + cz_i = -1$ καὶ τοῦ ἐπιπέδου συντεταγμένων RS ἢ ἄλλως πως $T = 0$.

3.2.3. Διεύθυνσις και διεύθυνσις κλίσεως.

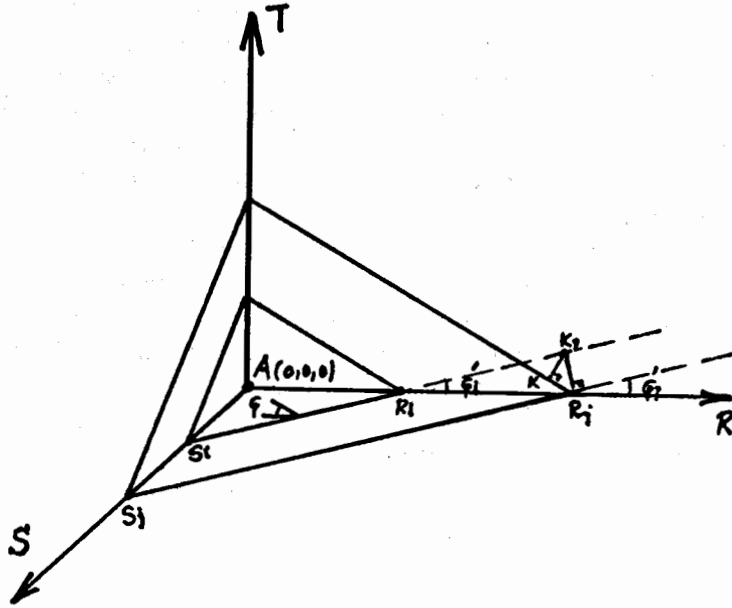
Ἡ διεύθυνσις $\varphi_{1,i}$ προκύπτει ἀπὸ τὴν γωνίαν φ_i τοῦ δεδομένου ἐπιπέδου $ax_i + by_i + cz_i = -1$ καὶ τῆς διευθύνσεως τοῦ Βορρᾶ, δηλ. τοῦ R— ἄξονος τοῦ συστήματος συντεταγμένων (σχ. 8), καὶ τὸ ὁποῖον δίδεται ὑπὸ τοῦ τύπου:

$$\cos \varphi_i = \frac{r_i}{\sqrt{r_i^2 + s_i^2}} \quad (9)$$

Ἡ διεύθυνσις $\varphi_{1,i}$ προκύπτει ἐκ τοῦ τύπου:

$$\varphi_{1,i} = 180^\circ - \varphi_i \quad (10)$$

Ἐνῶ ἡ διεύθυνσις κλίσεως $\varphi_{2,i}$ προκύπτει ἀναλόγως τῆς ὑφισταμένης ἐκ τῶν προαναφερθεισῶν περιπτώσεων (σχ. 6) ὡς ἐξῆς:



Σχ. 8. Σχηματική απεικόνιση της γωνίας κλίσεως φ_i και της γωνίας φ_i' προς ύπολογισμὸν τῆς διευθύνσεως καὶ τῆς διευθύνσεως κλίσεως,

Περίπτωσης I (σχ. 6)

- i με $\cos \varphi_i'$: ἀρνητικόν, ἔὰν $\varphi_i < 90^\circ$ τότε $\varphi_{2,i} = 90^\circ + \varphi_{1,i}$
 $\varphi_i > 90^\circ$ $\varphi_{2,i} = 270^\circ + \varphi_{1,i}$
- ii με $\cos \varphi_i'$: θετικόν, ἔὰν $\varphi_i < 90^\circ$ τότε $\varphi_{2,i} = \varphi_{1,i} - 90^\circ$
 $\varphi_i > 90^\circ$ $\varphi_{2,i} = 90^\circ + \varphi_{1,i}$

Περίπτωσης II (σχ. 6)

- iii με $\cos \varphi_i'$: ἀρνητικόν, ἔὰν $\varphi_i < 90^\circ$ τότε $\varphi_{2,i} = 270^\circ + \varphi_{1,i}$
 $\varphi_i > 90^\circ$ $\varphi_{2,i} = 90^\circ + \varphi_{1,i}$
- iv με $\cos \varphi_i'$: θετικόν, ἔὰν $\varphi_i < 90^\circ$ τότε $\varphi_{2,i} = 90^\circ + \varphi_{1,i}$
 $\varphi_i > 90^\circ$ $\varphi_{2,i} = \varphi_{1,i} - 90^\circ$

(11)

3. 2. 4. Ἐμβαδὸν ἐπιφανείας.

Αἱ συντεταγμένα τῶν προβολῶν τῶν σημείων τοῦ περιγράμματος μιᾶς διακλάσεως ἐπὶ τοῦ ἑξισωτικοῦ τῆς ἐπιπέδου, ἐπιτρέπουν διὰ τῆς ἀνασυνθέσεως τοῦ περιγράμματος ταύτης, τὸν ὑπολογισμὸν τοῦ ἔμβαδου τῆς ἐκ τοῦ γεωμετρικοῦ τῆς σχήματος ἀπ' εὐθείας ὑπὸ τοῦ ἠλεκτρονικοῦ ὑπολογιστοῦ, (ἰδὲ σελ. 21, 26 ὡς καὶ σχ. 10, 11).

3. 3. Ἀκρίβεια τῆς μεθόδου ἀξιολογήσεως.

Τὰ τελικὰ ἐξαγόμενα κατὰ τὸν ὑπολογισμόν τῶν διαφόρων παραμέτρων πρέπει νὰ ληφθοῦν, θεωρητικά, ὡς προσεγγιστικαὶ τιμαί. Αἱ ἀποκλίσεις τῶν ἀπὸ τὰς πραγματικὰς ἢ ἀπολύτους τιμὰς μᾶς δίδουν τὴν ἀκρίβειαν τῶν ὑπολογισμῶν. Ἐξετάζει κανεὶς τὰ τρία βασικὰ στάδια τῆς ἀξιολογήσεως ἢ ὑπολογισμῶν, ἦτοι :

- α. Ὑπολογισμὸς συντεταγμένων χώρου.
- β. Ὑπολογισμὸς ἀποστάσεων τῶν σημείων ἀπὸ τὸ ἐξισωτικὸν τῶν ἐπιπέδων δι' ἑκάστην ἐπιφάνειαν.
- γ. Ὑπολογισμὸς τῶν ἐπιπέδων συντεταγμένων.

Οὕτω ἔχει κανεὶς ἀντὶ τῶν ἀπολύτων ἢ πραγματικῶν τιμῶν π.χ. x_1, x_2, \dots, x_n τὰς προσεγγιστικὰς τιμὰς a_1, a_2, \dots, a_n .

Δέον λοιπὸν ὅπως ὑπολογισθῇ τὸ σφάλμα μὲ τὸ ὁποῖον ἐπιβαρύνεται ἡ ὅλη διαδικασία τοῦ ὑπολογισμοῦ, ἂν βασισθῇ ὁ ὑπολογισμὸς τῶν παραμέτρων εἰς τὰς προσεγγιστικὰς ἢ σχετικὰς αὐτὰς τιμὰς.

Ἄν αἱ σχετικαὶ αὐταὶ τιμαὶ θεωρηθοῦν ὡς ἐπιβεβαρυνόμεναι ἑκάστη μ' ἓν σφάλμα, τότε ἰσχύει $\varepsilon_1 = a_1 - x_1, \varepsilon_2 = a_2 - x_2, \dots, \varepsilon_n = a_n - x_n$, ὅπου ε_n ($n = 1, 2, \dots$) τὸ σφάλμα ἑκάστης ὑπολογισθείσης τιμῆς. Τὰ σφάλματα ταῦτα εἶναι πολὺ μικροῦ μεγέθους ἐν σχέσει πρὸς τὰς τιμὰς τῶν a_1, a_2, \dots, a_n .

Ἄν θεωρήσῃ κανεὶς τὰς πραγματικὰς ὑπολογισίμους τιμὰς ὡς συνάρτησιν n μεταβλητῶν $f(x_1, x_2, \dots, x_n)$ τότε ἰσχύει $f(x_1, x_2, \dots, x_n) = f(a_1 - \varepsilon_1, a_2 - \varepsilon_2, \dots, a_n - \varepsilon_n)$ ἢ ὁποία δίδει συμφώνως μὲ τοὺς κανόνας τοῦ διαφορικοῦ λογισμοῦ.

$$f(x_1, x_2, \dots, x_n) = f(a_1, a_2, \dots, a_n) - \varepsilon_1 \frac{\partial f}{\partial x_1} - \varepsilon_2 \frac{\partial f}{\partial x_2} - \dots - \varepsilon_n \frac{\partial f}{\partial x_n}$$

κατ' αὐτὴν τὴν ἔκφρασιν προκύπτει τὸ ἀπόλυτον σφάλμα τοῦ τελικοῦ ἀποτελέσματος συμφώνως πρὸς τὸν τύπον

$$\varepsilon = f(a_1, a_2, \dots, a_n) - f(x_1, x_2, \dots, x_n) = \varepsilon_1 \frac{\partial f}{\partial x_1} + \varepsilon_2 \frac{\partial f}{\partial x_2} + \dots + \varepsilon_n \frac{\partial f}{\partial x_n} \quad (12)$$

εἰς τὴν ὁποίαν τὰ μερικὰ διαφορικά τῆς $f(x_1, x_2, \dots, x_n)$ πρέπει νὰ ληφθοῦν εἰς τὰς θέσεις $x_1 = a_1, x_2 = a_2, \dots, x_n = a_n$.

Εἰς ἐφαρμογὴν τῶν ἀνωτέρω καὶ διὰ νὰ διαπιστωθῇ ποίαν ἐπίδρασιν ἔχουν τυχὸν σφάλματα εἰς τὰς ἀρχικὰς μετρήσεις ἐπὶ τῶν τελικῶν ἀποτελεσμάτων, ἐλήφθη ἢ εἰς τὸν πίνακα 2 ἀναφερομένη διάκλασις, ἢ ὁποία ὑπελογίσθη δύο φορές. Μίαν φορὰν ἐλήφθησαν αἱ προσεγγιστικαὶ ἢ μέσαι τιμαὶ (ιδὲ ἐξίς. 2) διὰ τὰς γωνίας $\alpha', \beta', \epsilon'$, τὴν δὲ ἄλλην αἱ τιμαὶ διὰ τὰς γωνίας ταύτας αἱ συλλεχθεῖσαι κατὰ τὴν δευτέραν μέτρησιν. Ὡς προέκυψεν ἀπὸ τὴν ἀκολουθήσασαν σύγκρισιν, ἀλλαγὴ εἰς τὴν τρίτην μετὰ τὸ κόμμα θέσιν εἰς τὰς ἀρχικὰς μετρήσεις ἐπιδρᾷ εἰς τὴν τετάρτην μετὰ τὸ κόμμα θέσιν τῶν ὑπολογιζομένων ἐξ αὐτῶν νέων συντε-

ταγμένων, εις την πέμπτην θέσιν μετά τὸ κόμμα εις τὸν ὑπολογισμόν τῶν τετραγώνων τῶν ἀποστάσεων τῶν σημείων ἀπὸ τὸ ἐξισωτικόν των ἐπίπεδον, εις τὴν τετάρτην θέσιν μετά τὸ κόμμα εις τὸν ὑπολογισμόν τῶν ἐπιπέδων συντεταγμένων τῶν σημείων.

Ὁ ἀναλυτικὸς ὑπολογισμὸς τῶν ἐπὶ μέρους σφαλαμάτων εις τὰ διάφορα στάδια τῆς διαδικασίας ταύτης, ὡς καὶ ὁ τῆς μέσης τιμῆς τῶν μεμονωμένων σφαλαμάτων, ἔχει ὡς ἑξῆς:

Ὶπολογισμὸς μὲ τὰς μέσας ἢ προσεγγιστικὰς τιμὰς	Ὶπολογισμὸς μὲ τὰς τιμὰς ἐκ τῆς δευτέρας μετρήσεως
--	---

α. Νέαι συντεταγμένα

	R	S	T	R	S	T
1.	16.6075	10.9930	4.2720	16.6083	10.9935	4.2714
2.	16.4287	11.0766	4.5417	16.4287	11.0764	4.5418
3.	16.0718	11.2687	3.9058	16.0715	11.2687	3.9058
4.	15.8348	11.4006	3.2872	15.8345	11.4008	3.2868
5.	16.1087	11.2664	3.1624	16.1084	11.2671	3.1626
6.	16.4540	11.0809	3.7561	16.4545	11.0819	3.7562

Κατὰ τὴν ἐξίσωσιν (12) ἂν $\alpha_1, \dots, \alpha_8$ ληφθῶσιν ὡς αἱ τιμαὶ ἐκ τῆς δευτέρας μετρήσεως καὶ x_1, \dots, x_8 αἱ τιμαὶ ἐκ τοῦ ὑπολογισμοῦ μὲ τὰς προσεγγιστικὰς τιμὰς, ἐπειδὴ

$$\frac{\partial f}{\partial x_i} = \frac{1}{n} \quad (13)$$

ἔχομεν

$$\epsilon_1 = 1.66666 \cdot 10^{-4}$$

β. Ὶπολογισμὸς τῶν τετραγώνων τῶν ἀποστάσεων τῶν σημείων ἀπὸ τὸ ἐξισωτικὸν των ἐπίπεδον.

$$0.4356 \cdot 10^{-2} \quad | \quad 0.4322 \cdot 10^{-2}$$

ἐκ τῶν (12) καὶ (13) ἔχομεν

$$\epsilon_2 = 3,4 \cdot 10^{-5}$$

γ. Ὶπολογισμὸς τῶν ἐπιπέδων συντεταγμένων

	X	Y	X	Y
1.	0.0	0.0	0.0	0.0
2.	0.3343	0	0.3350	0.0
3.	0.0602	-0.7025	0.0608	-0.7027
4.	-0.2783	-1.2864	-0.2789	-1.2870
5.	-0.5602	-1.1140	-0.5596	-1.1136
6.	-0.3121	-0.4472	-0.3143	-0.4471

ἐκ τῶν (12) καὶ (13) ἔχομεν

$$\varepsilon_3 = 2,8 \cdot 10^{-4}$$

Ἡ μέση τιμὴ τῶν μεμονωμένων σφαλμάτων εἶναι

$$\bar{\varepsilon} = \frac{1}{3} (\varepsilon_1 + \varepsilon_2 + \varepsilon_3) \quad \text{ἤτοι} \quad \bar{\varepsilon} = 1,60222 \cdot 10^{-4}$$

Συμφώνως πρὸς τὴν μαθηματικὴν θεωρίαν σφαλμάτων, διὰ νὰ θεωρηθῇ ὀρθὴ μία ὑπολογιστικὴ διαδικασία, πρέπει τὸ σφάλμα τῶν τελικῶν ἐξαγομμένων νὰ εἶναι μικρότερον, μάλιστα δὲ τὸ $1/10$ τοῦ σφάλματος τῶν ἀρχικῶν δεδομένων (ἐκ τοῦ πίν. 2). Ἡ ἀκολουθοῦσα σύγκρισις τῶν δύο σφαλμάτων

$0,188999702 \cdot 10^{-2} > 0,160222 \cdot 10^{-3}$ δεικνύει ὅτι ἡ συνθήκη ταύτη πληροῦται ἐν προκειμένῳ.

Περαιτέρω διερευνᾶται ἡ ἐπίδρασις τοῦ τελικοῦ τούτου σφάλματος εἰς τὸν ὑπολογισμὸν τῶν ἐπιθυμητῶν παραμέτρων.

ἰ Κλίσεις

$$\varphi_i = 88,887^\circ \quad | \quad \varphi_i = 88,809^\circ$$

$$\text{ἤτοι} \quad \Delta\varphi_i = 0,078^\circ$$

Διεύθυνσις

$$\varphi_{1,i} = 153,444^\circ \quad | \quad \varphi_{1,i} = 153,586^\circ$$

$$\text{ἤτοι} \quad \Delta\varphi_{1,i} = 0,142^\circ$$

Διεύθυνσις κλίσεως

$$\varphi_{2,i} = 63,444^\circ \quad | \quad \varphi_{2,i} = 63,586^\circ$$

$$\text{ἤτοι} \quad \Delta\varphi_{2,i} = 0,142^\circ$$

Ἐμβαδὸν

$$F = 0,66592 \quad | \quad F = 0,66704$$

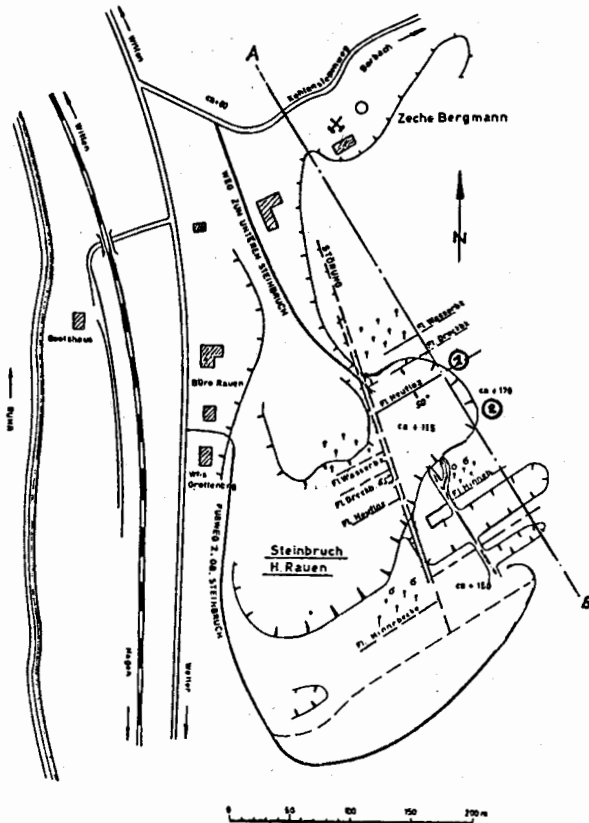
$$\text{ἤτοι} \quad \Delta F = 1,12 \cdot 10^{-3} \text{ m}^2$$

4. ΕΦΑΡΜΟΓΗ ΕΙΣ ΤΗΝ ΥΠΑΙΘΡΟΝ

Ἡ πρώτη ἐφαρμογὴ τῆς μεθόδου εἰς τὴν πρᾶξιν, ἐξ ἧς καὶ τὰ ἐπόμενα παραδείγματα, ἔγινε εἰς τὸ λατομεῖον H. Rauen περὶ τὰ $1\frac{1}{2}$ χλμ. ΝΔ. τῆς πόλεως Witten εἰς τὴν κοιλάδα τοῦ ποταμοῦ Ruhr. Τὰ στρώματα, ψαμμῖται καὶ ψαμμιτικοὶ ἕως ἀργιλικὸὶ σχιστόλιθοι περικλείουν στενὰς ἀνθρακοφόρους ζώνας (kohlenfloeze) τοῦ Ἐνωτέρου Λιθανθρακοφόρου τῶν καλουμένων srgoeckhoeveler schichten (5).

Οἱ ψαμμῖται εἶναι, τοπικῶς, κροκαλοπαγοῦς ὑφῆς, ἀνοικτοῦ γκριζοῦ ἕως ἀνοικτοῦ γκριζοῦ - μπλε χρώματος, ὑποηλοῦντος ηὔξημένη περιεκτικότητα εἰς πυρίτιον καὶ ὡς ἐκ τούτου ἐνισχυμένη ἀνθεκτικότητα. Ἡ ἐμφάνισις αὐτῆ ἀπαντᾷ εἰς παχείας στρώσεις, οἱ δὲ κόκκοι τοῦ ψαμμίτου εἶναι ὡς ἐπὶ τὸ πλεῖστον μέσου μεγέθους. Τὰ στρώματα κλίνουν μὲ $45^\circ - 50^\circ$ πρὸς ΒΔ, διευθύνονται δὲ πρὸς ΝΔ - ΒΑ.

Ἐμετρήθησαν αἱ θέσεις 1, 2 (σχ. 9) εἰς τὴν ἐπιφάνειαν τοῦ ὡς ἄνω λατομείου. Οἱ διακλάσεις κλίνουν σχεδὸν κατακορύφως παρουσιάζουν δὲ τοπικὰς διαφορὰς. Εἰς τὴν θέσιν 1 (ἀριστερὰ πλευρὰ) αἱ ἐπιφάνειαι διακλάσεων εἶναι καλῶς



Σχ. 9. Σχεδιάγραμμα τοῦ Λατομείου H. Rauhen
 με τὰς θέσεις τῶν μετρήσεων.
 Γεωλογ. χάρτης Witten Nr. 4509
 Gaus - Krüger } $H = 5799.450$
 Συντεταγμένα } $R = 2694.400$

ἀποτυπωμένα, ὀλίγον διαβρωμένα, οὐδόπως δὲ τεκτονικῶς παραμορφωμένα. Ἡ περιφέρειά των εἶναι ἑλλειψοειδοῦς μορφῆς, φέρουν δὲ καλῶς ἀποτυπωμένας φτεροειδεῖς ἐμφανίσεις καὶ ἀκτινωτὰ ὑβώματα (Plumose. Structures, Federstrukturen) (3). Εἰς τὴν θέσιν 2 (δεξιὰ πλευρὰ), εἰς τὴν περιοχὴν ἐνὸς διαγωνίου ρήγματος, ἀπαντοῦν ἀκανόνιστοι διακλάσεις, αἱ ὁποῖαι παρουσιάζουν, ἐνίστε,

ισχυράς αποκλίσεις από την μέση διεύθυνσίν των. Μία παραλληλόττης τῶν διακλάσεων τῆς αὐτῆς ομάδος καὶ δημιουργία ἐμφανῶν διακλαστικῶν πυρήνων (Kluftkoerper) εἰς τὴν θέσιν ταύτην κατὰ τὸν MUELLER (6) εἶναι περιωρισμένη. Εἰς τὴν θέσιν αὐτὴν οἱ συνηθέστερον ἀπαντῶμενοι διακλαστικοὶ πυρήνες εἶναι σφηνοειδοῦς μορφῆς καὶ τὸ συνηθέστερον σχῆμα τῆς περιφερείας τῶν ἐπιφανειῶν διακλάσεων εἶναι γραμμικόν, (ἐναντι τῆς ἔλλειπτικῆς μορφῆς ποὺ παρουσιάζουν αἱ διακλάσεις τῆς ἀριστερᾶς πλευρᾶς τοῦ λατομείου).

4.1. Παραδείγματα ἀπὸ τὴν μέτρησιν καὶ ἀξιολόγησιν (ὕπολογισμὸν) ἐπιφανειῶν εἰς τὴν ὑπαιθρον.

Ὅλαι σχεδὸν αἱ ἐπιφάνειαι διακλάσεων, αἱ ὁποῖαι τόσον εἰς τὴν βραχῶδη ἐπιφάνειαν τοῦ λατομείου, ὅσον καὶ εἰς τὸν φωτογραφικὸν χάρτην αὐτοῦ, ἐπεδείκνυον μίαν ἔλλειπτικῆς μορφῆς περιφέρειαν, ἀπεδόθησαν τόσον ὑπολογιστικῶς, ὅσον καὶ γραφικῶς, ὑπὸ τοῦ ἠλεκτρονικοῦ ἐγκεφάλου ὡς γεωμετρικαὶ ἔλλειψεις μὲ μεγάλην ὑπολογιστικὴν ἀκρίβειαν (ὡς δεικνύεται κατωτέρω) τῆς τάξεως τοῦ 10^{-9} (τάξις μεγέθους τοῦ ὑπολογιστικοῦ σφάλματος).

Αἱ ἐπιφάνειαι διακλάσεων αἱ ἐμφαίνουσαι γραμμικὴν περιφέρειαν, ὑπελογίσθησαν ἀναλόγως.

Εἰς τὰ ἐπόμενα θὰ δειχθῇ ὁ τρόπος ὑπολογισμοῦ δύο ἐκ τῶν ὑπολογισθεῶν ἐπιφανειῶν (ἔλλειπτικοῦ ὡς καὶ γραμμικοῦ περιγράμματος, σχ. 10, 11).

XBG, BEN = 130501 Artopoulos, TSB = 80, PSB = 150, KSB = 32.
Auftrag 645 AM 02.11.73 UM 18:1 MV 140016

Gib Kommandos : el, system tue, system Arto .

Eingeschl : System (0001.00) BKZ : Artopoulos

Ende tue (6.00) 0.09

Gib Kommandos : Convert, Daten = /

8.30, 2.969665,

	(α_i')	(β_i')	(ϵ_i')
1. 2.	95.480,	115.450,	79.440,
2. 2.	96.460,	115.980,	79.510,
3. 2.	97.100,	116.300,	79.400,
4. 2.	97.540,	116.600,	79.210,
5. 2.	99.120,	117.520,	77.680,
6. 2.	99.800,	118.040,	76.680,
7. 2.	102.320,	119.340,	73.750,
8. 2.	100.530,	117.880,	69.520,
9. 2.	98.980,	117.150,	70.750,
10. 2.	97.750,	116.370,	71.660,

11. 2.	96.840,	115.740,	72.620,
12. 2.	95.980,	115.280,	73.630,
13. 2.	95.070,	114.580,	74.550,
14. 2.	94.160,	113.880,	76.400,
0. □.			

Start Convert

Geaendert. & STDDB Convert (0001.00)

Stop

Ende Convert 0.31

Gib Kommandos □ : □ Ellipse, Daten = Convert □.

Start STDHP (1.00)

Alte und Neue Koordinaten

Nr	R	S	T	R	S	T	Abstand
1	1.8498	86.0094	8.7266	1.9824	26.1559	8.6985	0.199641
2	1.4784	26.5596	8.8700	1.5202	26.6057	8.8612	0.062845
3	1.2893	86.9670	9.0534	1.1995	26.9342	9.0597	-0.044760
4	1.0490	27.1332	9.1967	1.0313	27.1137	9.2005	-0.026688
5	0.3869	27.9847	10.2353	0.3435	27.9368	10.2445	-0.065242
6	0.0885	28.1599	10.8028	0.1446	28.2219	10.7909	0.084497
7	-1.0908	29.9196	13.0958	-1.1574	29.8462	13.1099	-0.100110
8	-0.2463	29.5863	15.3576	-0.3114	29.5145	15.3714	-0.097898
9	0.4547	28.3742	14.0406	0.5478	28.4771	14.0208	0.140226
10	0.9824	27.7853	13.2647	1.0571	27.8677	13.2489	0.112358
11	1.3631	27.4388	12.6023	1.3766	27.4537	12.5994	0.020308
12	1.7018	26.9149	11.8569	1.7514	26.9696	11.8464	0.074629
13	2.0700	26.6774	11.3056	2.0212	26.6235	11.3159	-0.073446
14	2.4319	26.4363	10.3186	2.2485	26.2336	10.3575	-0.076129

Summe der arstandsquadrate: 0.1974 E + 00

Ebenengleichung: $-0.3445D - 01 \star R + -0.3805D - 01 \star S + 0.7308D -$
 $- 02 \star T = - 1$

Rechenkontrolle: 0.2253 E - 09

Erene Koordinaten

Nr	X	Y
2	0.6652	0.0
3	1.1587	0.0811
4	1.4314	0.1584
5	2.7213	0.9178

6	3.1859	1.3690
7	5.7562	3.1310
8	5.4971	5.5544
9	3.8682	4.5618
10	2.9135	4.0006
11	2.2526	3.4921
12	1.4807	2.9039
13	0.9293	2.4915
14	0.2734	1.6596
1	0.0	0.0

Basisvektoren des ebenen koordinatensystems

$$A = (-0.69493 \ 0.67621 \ 0.24456) \quad B = (0.27478 \ -0.06457 \ 0.95934)$$

Gib punktnummern \square : 1, 2, 3, 4, 5, 7, 8, 8, 9, 10, 11, 13, 14, \square .

Ellipse durch die punkte

1 2 3 4 5 7 8 8 9 10 11 13 14

Loesung des gleichungssystems

$$0.5707D + 00 \ 0.1000D + 01 - 0.2035D + 00 - 0.1199D + 01 - 0.1311D + 01 - 0.2040D + 00$$

Determinanten: Delta $-0.33462D + 00$ $D \ 0.14109D + 00$

Nach hauptachsentransformation mit $\text{PHI} = 35.93282$

$$0.9565D - 01 \ 0.1475D + 01 - 0.8685D + 00 - 0.8516D + 00 \\ 0.5170D - 25 - 0.2040D + 00$$

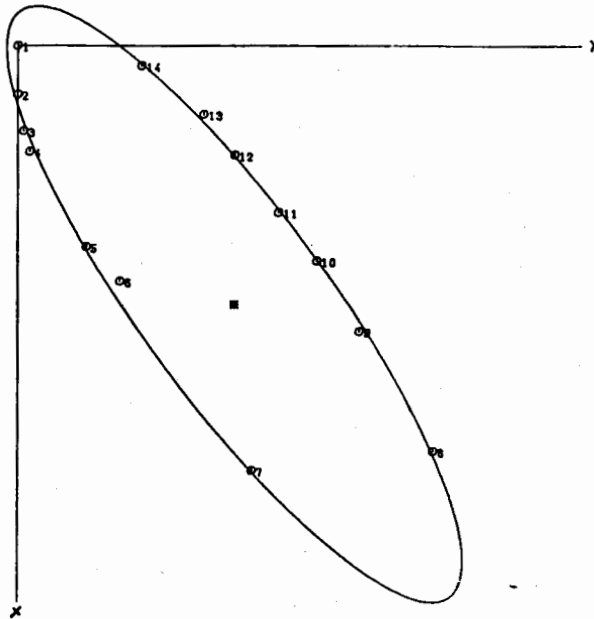
Parameter der ellipse

Xnull	Ynull	A	B	PHI	Flaeche
30.50652	2.89786	4.90185	1.24826	35.93282	19.22273

Schaetzwert fuer abstaende

1	-0.2040 E + 00	0.4685 E - 01
2	-0.8087 E - 01	0.6231 E - 02
3	0.1124 E + 00	0.7486 E - 02
4	0.2119 E + 00	0.2197 E - 01
5	-0.6282 E - 01	0.9124 E - 02
6	-0.5447 E + 00	0.5117 E - 01
7	-0.4332 E - 01	0.4674 E - 03
8	0.8827 E - 01	0.3840 E - 02
9	-0.2437 E + 00	0.9639 E - 02
10	-0.2434 E - 01	0.4466 E - 04

11	- 0.7129 E - 01	0.4856 E - 03
12	0.5984 E - 01	0.6691 E - 03
13	0.2843 E + 00	0.2184 E - 01
14	- 0.4771 E - 01	0.1338 E - 02



Σχ. 10. Διάκλασις έλλειψοειδοϋς περιγράμματος
εις τὸ Λατομείον Η. Ραυεν. Κλίμαξ: 1 : 50,28.

Gib 1, wenn gezeichnet werden soll, sonst 0□:1□.

Einfallen (κλίσις): 81.896°

Streichen (διεύθυνσις): 137.842°

Richtung des Einfallens διεύθυνσις κλίσεως): 227.842°

Fläche (έμβαδόν): 19.2227 m²

Gib Kommandos □ : □ Convert, Daten = /

13.30, 2.40

	(α _i ')	(β _i ')	(ε _i ')
1, 2,	84.57,	120.57,	82.97,
2, 2,	85.755,	120.65,	81.63,
3, 2,	84.015,	119.75,	79.735,
4, 2,	85.55,	120.44,	77.7,
5, 2,	90.69,	123.62,	84.27,
6, 2,	89.295,	122.73,	86.05,
7, 2,	91.63,	124.34,	91.34,
8, 2,	92.86,	125.14,	89.8,
0, □.			

Start Convert
 Geaendert : & STDDB. Convert (0001.00)
 Stop

Ende Convert 0.19
 Gib Kommandos \square : \square Ellipse, Daten = Convert \square .

Start STDHP (1.00)
 Alte und neue koordinaten

Nr	R	S	T	R	S	T	Abstand
1	5.6441	22.8290	6.4453	5.7582	22.9552	6.4274	0.171024
2	5.3635	23.5685	7.1750	5.2893	23.4864	7.1866	-0.111353
3	5.9064	23.0865	7.8335	5.9033	23.0230	7.8340	-0.004736
4	5.4461	23.5802	8.8419	5.4454	23.5794	8.8420	-0.001011
5	3.6494	24.7763	6.3170	3.6835	24.8140	6.3117	0.051116
6	4.1559	24.4817	5.5301	4.0549	24.3699	5.5459	-0.151470
7	3.2885	24.8679	3.4335	3.2373	24.8112	3.4415	-0.076746
8	2.8269	25.0998	4.0819	2.9120	25.1940	4.0686	0.127622

Summe der abstandsquadrate : 0.8941 E - 01

Ebenengleichung :

$$-0.3317 D - 01 * R \pm 0.3670 D - 01 * S \pm 0.5191 D - 02 * T = -1$$

Rechenkontrolle : 0.1257 E - 09

Ebene koordinaten

Nr	X	Y
2	1.0385	0.0
3	0.9975	1.0046
4	2.2258	1.1678
5	1.8031	-2.1265
6	0.8484	-2.2271
7	-0.0952	-4.3251
8	0.7060	-4.2636
1	0.0	0.0

Basisvektoren des ebenen koordinatensystems

$$A = (-0.45153 \ 0.51154 \ 0.73105) \quad B = (0.59278 \ -0.44040 \ 0.67429)$$

Gib punktnummern \square : 1, 2, 3, 4, 5, 6, 7, 8, \square

8 - Eck durch die Punkten 1 2 3 4 5 6 7 8

Einfallen (κλίσις) : 84.0088°

Streichen (διεύθυνσις) : 137.8909°

Richtung des Einfallens (διεύθυνσις κλίσεως) : 227.8909°

Fläche (ἔμβαδόν) : 4.750 m^2

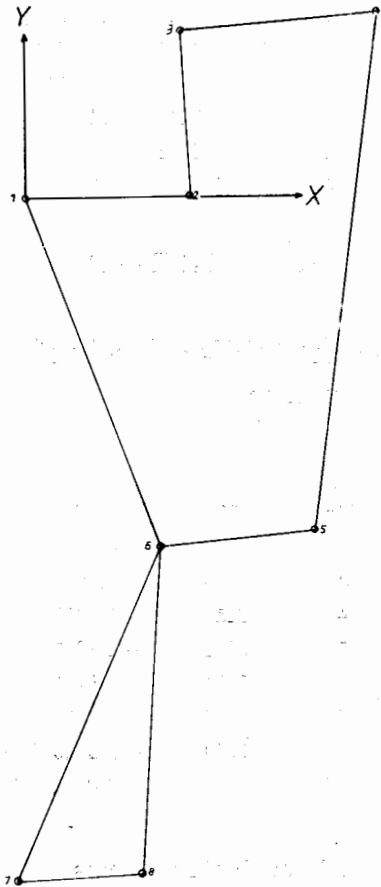
Gib 1, wenn ein 8 - Eck gezeichnet werden soll, sonst 0 □ : 1 □ (σχ. 11)

Gib punktnummern □ : 0□ .

Stop

Ende STDHP (1.00) 1.05

Ende Zeichne (16.01) 0.04



Σχ. 11. Διάκλασις γραμμικοῦ περιγράμματος
εἰς τὸ Λατομεῖον Η. Ραυεν. Κλίμαξ : 1 : 20.

5. Ε Π Ι Λ Ο Γ Ο Σ

5.1. Πλεονεκτήματα έκ τῆς διὰ τοῦ Θεοδολίχου χρήσεως εἰς τὴν γεω-
τεχνικήν.

- i Ὁ Γεωλόγος μηχανικὸς ἢ ὁ μηχανικὸς δύνανται μόνοι των ἢ τῇ βο-
θειᾷ ἐλαχίστου προσωπικοῦ νὰ μετρήσουν καὶ νὰ ὑπολογίσουν προσοτι-
κῶς τὴν θέσιν εἰς τὸν χώρον, προσανατολισμὸν καὶ μέγεθος διακλάσεων
καὶ ἄλλων σημαντικῶν διατμητικῶν τοῦ πετρώματος ἐπιπέδων ἐπιδρω-
των μεγίστως εἰς τὴν ἀντοχὴν τούτου.
- ii Ἡ συγκομιδὴ τῶν στοιχείων ἀπ' εὐθείας εἰς τὴν ὑπαιθρον ἐπιτρέπει
ταυτοχρόνως τὴν ἐξοικίωσιν μὲ τὰς ἐκάστοτε ὑφισταμένας συνθήκας καὶ
τὴν ἔκφρασιν τῶν ἐπιθυμητῶν παραμέτρων εἰς τὸ πνεῦμα τῶν συνθη-
κῶν αὐτῶν.
- iii Διὰ τῆς διὰ τοῦ Θεοδολίχου μεθόδου διευκολύνεται καὶ ἀπλοποιεῖται
μεγίστως ἡ μέτρησις καὶ ἀξιολόγησις ὄλων τῶν μὴ προσιτῶν εἰς τὴν διὰ
χειρὸς μέτρησιν διακλάσεων καὶ ἄλλων διατμητικῶν ἐπιπέδων τῶν βρα-
χωδῶν μαζῶν, παλλαὶ τῶν ὁποίων εἶναι ἀποφασιστικῆς σπουδαιότητος
διὰ τὸν ὑπολογισμὸν τῆς ἀντοχῆς τοῦ πετρώματος.

5.2. Περαιτέρω δυνατότητες ἐφαρμογῆς τῆς μεθόδου.

- i Ὁ ὑπολογισμὸς τῶν ἐμβαδῶν τῶν μεμονωμένων διακλάσεων ἐπιτρέπει
τὴν ἐκτίμησιν τοῦ βαθμοῦ «διαχωρισμοῦ» ἢ διατμήσεως τῶν πετρωμά-
των ἔνεκα τούτων.
- ii Τὸ ἄθροισμα τῶν τετραγώνων τῶν ἀποστάσεων τῶν σημείων ἀπὸ τὸ
ἔξισωτικόν των ἐπιπέδων δι' ἐκάστην διάκλασιν, ἐπιτρέπει τὴν ἐκτίμησιν
τῆς καμπυλότητος ἢ τῆς μῆ «ἐπιπεδότητος» τῶν διακλάσεων βασικῆς
αἰτίας διὰ τὴν ὑπαρξιν τριβῆς, δυνάμεως ἀντιτιθεμένης εἰς τὴν κίνησιν
διατετημένων βραχωδῶν μαζῶν.

ΠΡΟΣΘΗΚΗ Α

Ἐπολογισμὸς τοῦ ἐξισωτικοῦ ἐπιπέδου

Ὁ ὑπολογισμὸς τοῦ ἐξισωτικοῦ ἐπιπέδου γίνεται διὰ τῆς μεθόδου τῶν ἐλα-
χίστων τετραγώνων τῶν σφαλμάτων (The least Square method - methode der
Kleinsten Fehlerquadrante). Κατ' αὐτήν, δεδομένων τῶν συντεταγμένων χώρου
ὄλων τῶν σημείων $M_i (r_i, s_i, t_i)$ ἐκάστης διακλάσεως, ὑπολογίζεται τὸ ἐπίπεδον
ἐκεῖνον

$$U_1 r_i + U_2 s_i + U_3 t_i = 1 \quad (14)$$

δπου $U_1, U_2, U_3 =$ σταθερὸν ἄνυσμα $\neq 0$ διὰ τὸ ὁποῖον τὸ ἄθροισμα τῶν τετραγώνων τῶν καθέτων ἀποστάσεων τῶν σημείων εἶναι ἐλάχιστον

$$\alpha = \sum_{i=1}^n (U_1 r_i + U_2 s_i + U_3 t_i - 1)^2 = \text{Min} \quad (15)$$

ἡ παράστασις α ἔχει δι' ἐκείνας τῶν τιμῶν τῶν U_1, U_2, U_3 ἓνα ἐλάχιστον διὰ τὰς ὁποίας ἰσχύει

$$\frac{\partial \alpha}{\partial U_1} = 2 \sum_{i=1}^n (U_1 r_i + U_2 s_i + U_3 t_i - 1) r_i = 0$$

$$\frac{\partial \alpha}{\partial U_2} = 2 \sum_{i=1}^n (U_1 r_i + U_2 s_i + U_3 t_i - 1) s_i = 0$$

$$\frac{\partial \alpha}{\partial U_3} = 2 \sum_{i=1}^n (U_1 r_i + U_2 s_i + U_3 t_i - 1) t_i = 0$$

ἢ

$$2 \underbrace{\begin{vmatrix} \sum_{i=1}^n r_i^2 & \sum_{i=1}^n r_i s_i & \sum_{i=1}^n r_i t_i \\ \sum_{i=1}^n r_i s_i & \sum_{i=1}^n s_i^2 & \sum_{i=1}^n s_i t_i \\ \sum_{i=1}^n r_i t_i & \sum_{i=1}^n s_i t_i & \sum_{i=1}^n t_i^2 \end{vmatrix}}_M \begin{vmatrix} U_1 \\ U_2 \\ U_3 \end{vmatrix} = 2 \begin{vmatrix} \sum_{i=1}^n r_i \\ \sum_{i=1}^n s_i \\ \sum_{i=1}^n t_i \end{vmatrix} \quad (16)$$

Ἐφ' ὅσον $\det M \neq 0$, ὑπολογίζει κανεὶς ἐκ τῆς (16) τὰ U_1, U_2, U_3 καὶ ἐκ τῆς (14) παρέχεται τὸ ἐξισωτικὸν ἐπίπεδον.

Ἐὰν εἶναι $\det M = 0$, τότε ὑπάρχουν μόνον ἐξισωτικὰ ἐπίπεδα διὰ τοῦ 0 τοῦ συστήματος τῶν συντεταγμένων. Ἡ ἐξίσωσις τοιούτων ἐξισωτικῶν ἐπιπέδων εἶναι τῆς μορφῆς

$$U_1 r_i + U_2 s_i + U_3 t_i = 0 \quad (17)$$

Καὶ αὐτὰ τὰ ἐπίπεδα ὑπολογίζονται ὡς ἀνωτέρω.

Ἡ προβολὴ τῶν σημείων εἰς τὸ ἐξισωτικὸν των ἐπίπεδον (διὰ τὴν περίπτωσιν $\det M \neq 0$) προκύπτει ἂν ὑπολόγισῃ κανεὶς δι' ὅλα τὰ σημεῖα $M_i (r_i, s_i, t_i)$ μιᾶς διακλάσεως τὰ ἐξαγόμενα

$$U_1 r_i + U_2 s_i + U_3 t_i = \Delta_i \quad (18)$$

καὶ προσθέσῃ εἰς r_i, s_i, t_i ἓν πολλαπλάσιον (λ -σιον) τοῦ ἀνύσματος (U_1, U_2, U_3), οὕτως ὥστε τὰ σημεῖα

$$(r_i, s_i, t_i) + \lambda_i (U_1, U_2, U_3) = (r_i + \lambda_i U_1, s_i + \lambda_i U_2, t_i + \lambda_i U_3) \quad (19)$$

νά κείνται ἐπὶ τοῦ ἔξισωτικοῦ ἐπιπέδου. Τὸ λ_i δίδεται ὑπὸ τοῦ τύπου :

$$\lambda_i = \frac{-(1 + \Delta_i)}{U_1^2 + U_2^2 + U_3^2} \quad (20)$$

Κατὰ τὸν ἴδιον τρόπον ὑπολογίζεται καὶ ἡ προβολὴ τῶν σημείων εἰς τὴν περιπτώσιν $\det M = 0$.

ΠΡΟΣΘΗΚΗ Β

Μεταβάσεις εἰς τὰς ἐπιπέδους συντεταγμένας.

Ἐστωσαν A, B τὰ βασικά ἀνύσματα (ἀνύσματα ὀρισμοῦ) τοῦ ἐπιπέδου διὰ μέσου τοῦ O τοῦ συστήματος τῶν συντεταγμένων. Ἐστωσαν A_q, B_q τὰ βασικά ἀνύσματα ἑνὸς ἐπιπέδου παραλλήλου πρὸς τὸ προηγούμενον. Ἡ ἔξισσις τούτου ἔχει :

$$xA_q + yB_q + c' - p = 0 \quad (21)$$

ὅπου :

$$A_q = (r_2 - r_1, s_2 - s_1, t_2 - t_1) \frac{1}{\sqrt{(r_2 - r_1)^2 + (s_2 - s_1)^2 + (t_2 - t_1)^2}}$$

$$c' = (r_1, s_1, t_1)$$

$$p = (r, s, t)$$

Διὰ τὸ ἄνυσμα B_q πρέπει νὰ ἰσχύη $B_q \perp A_q, |B_q| = 1, B_q + c' \in$ εἰς τὸ ἔξισωτικὸν ἐπίπεδον.

Περαιτέρω ἰσχύει $x_i A_q + y_i B_q + (r_i, s_i, t_i) \in$ εἰς τὸ ἔξισωτικὸν ἐπίπεδον (22) ὅπου x_i, y_i εἶναι αἱ ἐπίπεδοι συντεταγμέναι τοῦ σημείου (r_i, s_i, t_i) . Διὰ τὴν ἐπίλυσιν τῆς ἔξισώσεως ἔλλειπει ὁ παράγων (ἄνυσμα) B_q ὁ ὑπολογισμὸς τοῦ ὁποίου γίνεται ἐκ τοῦ ἀκολουθοῦ συστήματος ἔξισώσεων :

$$\left. \begin{array}{l} \text{i} \quad (r_i + b_1)U_1 + (s_i + b_2)U_2 + (t_i + b_3)U_3 + 1 = 0 \\ \text{ii} \quad \alpha_1 b_1 + \alpha_2 b_2 + \alpha_3 b_3 = 0 \\ \text{iii} \quad b_1^2 + b_2^2 + b_3^2 = 1 \end{array} \right\} \quad (23)$$

$$\text{ἐκ τῆς 23, ii ἔχομεν} \quad b_1 = -\frac{\alpha_2}{\alpha_1} b_2 - \frac{\alpha_3}{\alpha_1} b_3 \quad (24)$$

$$\text{ἐκ τῆς 23, i:} \quad b_2 \left((U_2 - U_1) \frac{\alpha_2}{\alpha_1} \right) + r_i U_1 + s_i U_2 + (t + b_3) - \frac{\alpha_3}{\alpha_1} b_3 U_1 + 1 = 0$$

$$\text{θέτοντες} \quad \left(U_2 - U_1 \frac{\alpha_2}{\alpha_1} \right) = f^*$$

λαμβάνομεν

$$b_2 f^* + b_3 \left(U_3 - \frac{\alpha_3}{\alpha_1} U_1 \right) + r_i U_1 + s_i U_2 + t_i U_3 + 1 = 0 \quad (25)$$

θεωρούντες $b_3 = 1$ (26) επιλύεται ή ή (25) ως προς b_2 .

Ἀντικατάστασις τῶν b_3 καὶ b_2 εἰς τὴν 23, iii δίδει τὸ b_1 .

B I B Λ Ι Ο Γ Ρ Α Φ Ι Α

1. ADLER, R. k. ä.— Anwendung der Photogrammetrie zur Erfassung tektonischer Daten. Clausthaler Tektonische Hefte, Nr. 10 «Computer-Einsatz in der Geologie» (s. 337 - 358) 1970.
2. ADLER, R., BODECHTEL, I.— Tektonische Datenerfassung aus terrestrisch - Photogrammetrischen Aufnahmen sowie deren Weiterverarbeitung in der EDV. «Bildmessung + Luftbildwesen, s. 267 - 272 5/1970.
3. BANKWITZ, P.— Üder Klüfte I, Beobachtungen im Thüringischen Schiefergebirge. Geologie, 14, Berlin 1965/a.
4. FINSTERWALDER, R., HOFMANN, W.— «Photogrammetrie» De Gruyter Verlag, Berlin, s. 455. 1968.
5. HAHNE, C. k. ä.— Lehrreiche geologische Aufschlüsse in Ruhrrevier Verlag Glückauf GmbH Essen, s. 83 - 89. 1958.
6. MÜLLER, L.— Der Kluftkörper Geologie und Bauwesen, Jg 18, H 1, s. 57.
7. PREUSS, H, D.— Nummerisch-Photogrammetrische Kluftrmessung. Διάλεξις εἰς τὰ πλαίσια τοῦ XXI Kolloquium τῆς Αὐστριακῆς Ἑταιρείας Γεωμηχανικῆς. Salzburg, Ὀκτώβριος 1972.
8. — Προσωπικὴ συζήτησις Bochum, Σεπτέμβριος 1973.
9. ZEISS.— Τεχνικὰ ἔντυπα (πληροφορικὰ) τοῦ ἐργοστασίου Carl Zeiss, Oberkochen Wuertt σ. 143.